



TAMPEREEN TEKNILLINEN YLIOPISTO

TIMO PIHLSTRÖM
LANGATON INERTIAMITTAUSYKSIKÖ
Diplomityö

Tarkastajat: TkT Jussi Collin, prof.
Jarmo Takala
Tarkastaja ja aihe hyväksytty
Tieto- ja sähkötekniikan tiedekuntaneu-
voston kokouksessa 3.4.2013

TIIVISTELMÄ

TAMPEREEN TEKNILLINEN YLIOPISTO

Sähkötekniikan koulutusohjelma

PIHLSTRÖM, TIMO: Langaton inertiamittausyksikkö

Diplomityö, 43 sivua, 9 liitesivua

Kesäkuu 2014

Pääaine: Sulautetut järjestelmät

Tarkastajat: TkT Jussi Collin, prof. Jarmo Takala

Avainsanat: inertiamittausyksikkö, bluetooth, kiihtyvyysanturi, gyroskooppi, magnetometri, GPS

Inertiamittausyksikkö on laite, joka pystyy mittaamaan liiketilaa ja asentoa. Yleensä näissä mittauksessa käytetään apuna kiihtyvyysanturia, gyroskooppia ja magnetometriä. Jotta näistä useista antureista saatua mittaustietoa voidaan käyttää esimerkiksi asennon laskemiseen, täytyy ensin antureilta kysyä tieto, aikatahdistaa se muiden antureiden kanssa, kalibroida mittaustieto sekä lopulta suorittaa laskutoimenpide, joka kertoo asennon. Tämän työn tavoitteena on kuvata pienikokoisen ja langattomasti ohjattavan inertiamittausyksikön kehitystyötä, jonka käyttökohde on puettavissa sovelluksissa.

Työ on jaettu kolmeen osaan, joista ensimmäisessä kuvataan mittausyksikössä käytettyjen komponenttien valintaperusteita, piirilevy-suunnittelua sekä mekaanista suunnittelua. Työn toisessa osassa kuvaillaan mittausyksikössä käytetty ohjelmistoarkkitehtuuri ja sen yksittäisten moduulien toiminta. Kolmas osio kertoo mittausyksikössä käytettyjen antureiden kalibrointimenetelmän ja tulokset menetelmän toimivuudesta. Tässä osiossa esitellään myös mittausyksikön käyttöä oikeissa mittausympäristöissä, joiden perusteella laitteen toimintakyvyn todetaan olevan riittävällä tasolla.

ABSTRACT

TAMPERE UNIVERSITY OF TECHNOLOGY

Master's Degree Programme in Electrical Engineering

PIHLSTRÖM, TIMO: Wireless Inertial Measurement Unit

Master of Science Thesis, 43 pages, 9 Appendix pages

June 2014

Major: Embedded Systems

Examiners: Dr.Tech. Jussi Collin, Prof. Jarmo Takala

Keywords: inertial measurement unit, bluetooth, accelerometer, gyroscope, magnetometer, GPS

Inertial measurement unit is a device that can measure orientation and the state of motion. Usually, these measurements combine the readings from accelerometer, gyroscope and magnetometer. Before the actual orientation can be calculated, the device needs to ask the information from the sensors, synchronize it with the data from other sensors and finally calibrate the sensor reading. The goal for this thesis is to describe the development process to produce a small-sized wirelessly controlled inertial measurement unit which is designed to work in wearable environments.

The thesis is divided in three parts. The first section describes the reasons for selecting the components, the printed circuit board design and mechanical design. The second part focuses on the software running on the device and describes the software architecture and the inner workings individual software components. The last part introduces a method which is used to calibrate the accelerometer and gyroscope readings. The results of this method are also presented. This section also describes how the measurement unit is used in real-life measurement situations. Based on these measurements, it can be said that the performance of the inertial measurement unit is at sufficient level.

ALKUSANAT

Haluan kiittää työn tarkastajia, Jarmo Takalaa ja Jussi Collinia, mahdollisuudesta kiinnostavaan aiheeseen, sekä vapaudesta laitteen tekemisen ja tämän työn kirjoitusvaiheen aikana. Lisäksi haluan kiittää Jussi Parviaista, jonka kanssa pääsin testaamaan toteutettua mittausyksikköä useissa mielenkiintoisissa mittauskohteissa. Kiitokset myös Jarkko Tuomelle ja Jayaprasad Bojjalle, joiden kanssa pohdin ratkaisuja työssä esiintyneisiin teknisiin ongelmiin.

Timo Pihlström

Päivämäärä

SISÄLLYS

1. Johdanto	1
2. Lähtökohdat	3
2.1 Inertiamittausyksikkö	4
2.2 Vertailua kaupallisiin laitteisiin	4
3. Laitteisto	7
3.1 Komponenttien valintaperusteet	7
3.2 Komponentit	8
3.2.1 Mikro-ohjain	8
3.2.2 Anturit	9
3.2.3 Liitynnät ulkomaailmaan	9
3.2.4 Tehonhallinta	12
3.2.5 Mekaaninen suunnittelu	13
4. Ohjelmisto	15
4.1 Lohkorakenne	15
4.2 Toiminnallinen kuvaus	15
4.2.1 Antureiden lukeminen	15
4.2.2 Anturitiedon siirto ja puskurointi	17
4.2.3 Aika- ja paikkapalvelut	19
4.2.4 Viestitysjärjestelmä	20
4.2.5 Tiedon tallennus muistikortille	25
4.2.6 Sovellusrajapinta	27
5. Kalibrointi ja testaus	34
5.1 Kalibrointi	34
5.1.1 Virhemallit	34
5.1.2 Pyörityspöytä ja kalibrointikuutio	34
5.1.3 Kalibrointialgoritmit	34
5.1.4 Tulokset	35
5.2 Testaus	38
6. Johtopäätelmät	41
Lähteet	43
A. Liitteitä	45
A.1 Kytkenäkaavio	45
A.2 Osasijoittelukuvat ja kuparitasot	49
A.3 Komponenttilistaus	52

TERMIT JA NIIDEN MÄÄRITELMÄT

SENSIN	Sensors in Mobile Consumer Devices -projekti
ESD	Electrostatic Discharge
SPP	Serial Port Profile
A/D-muunnin	Analogia-digitaalimuunnin
FAT	File Allocation Table
NMEA	National Marine Electronics Association
MAC	Media Access Control
ASCII	American Standard Code for Information Interchange
RS-232	Recommended Standard 232
SRAM	Static Random Access Memory
SDRAM	Synchronous Dynamic Random Access Memory
NiMH	Nikkelimetallihybridi
GPS	Global Positioning System
USB	Universal Serial Bus
MEMS	Micro Electro Mechanical Systems
I ² C	Inter-Integrated Circuit
SPI	Serial Peripheral Interface
SDIO	Secure Digital Input Output
JTAG	Joint Test Action Group

1. JOHDANTO

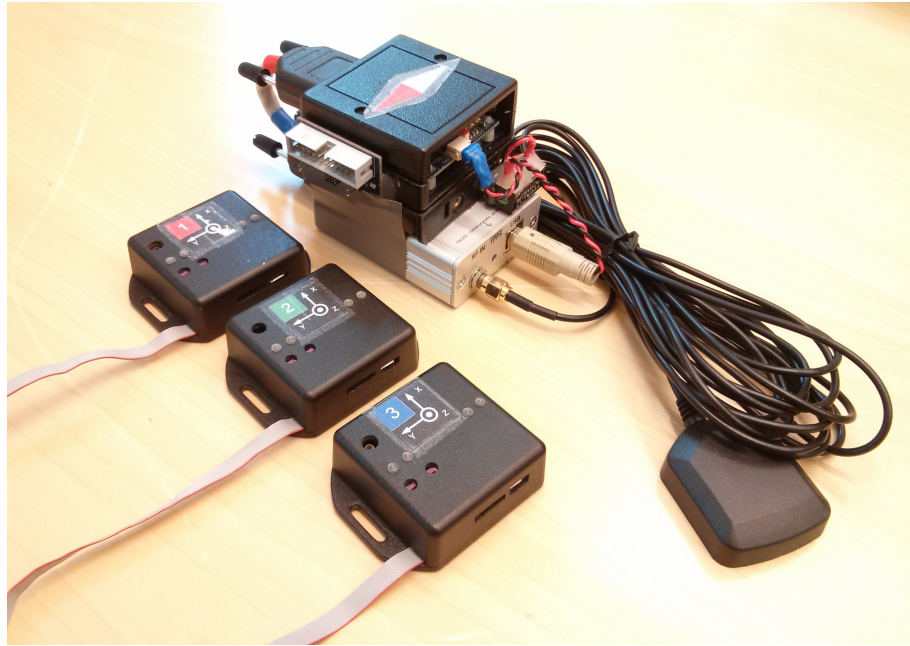
Tämä työ on tekninen raportti inertiamittausyksikön suunnitteluprosessista ja sen antureiden kalibroimista. Työ on toteutettu osana SENSIN-projektia (Sensors in Mobile Consumer Devices), jossa esiintyi tarve langattomasti ohjatuille ja aikasykronoiduille pienikokoisille inertiamittausyksiköille. Tärkeä laitteen ominaisuus on myös se, että projektin yhteydessä kehitettyjä algoritmeja voidaan toteuttaa itse laitteessa.

Työssä kuvattu laite pohjautuu ST Microelectronicsin STEVAL-MKI062V2 -kehitysalustaan [1], johon olen kehittänyt ohjelmistoa ja tehnyt laajennuksia vuoden 2012 toisen puoliskon aikana. Laajennukset kuitenkin lisäävät laitteen kokoa siihen pisteeseen, että laitetta ei pysty enää käyttämään tärkeimmissä käyttökohteissaan - esimerkiksi puettuna moottoripyöräkuskin vaatteisiin. Vanhan mittausyksikön koero verrattuna uusiin on esitetty kuvassa 1.1.

Laitteen ensimmäinen kehitysversio sisältää useita ongelmakohtia. Eräs niistä on laitteen tehollisuudenä toimivat neljä AA-kokoista NiMH-akkua (Nikkelimetallihybridi), jotka tuovat laitteelle kokoa ja painoa. Lisäksi akkujen lataus on vaikeaa sisäänrakennetun akkulaturin puuttumisen vuoksi. Toinen ongelmakohta on laitteen ulkoinen GPS-moduuli (Global Positioning System), joka liitetään kehitysalustaan sarjaliikennekaapelin ja tasomuuntimen kautta. GPS-laite tarvitsee myös ulkoisen antennin. Koska laite koostuu ulkoisilla kaapeleilla toisiinsa liitetyistä erillisistä komponenteista, on kokonaisuutta vaikea käyttää mittauskohteissaan. Laitteen käyttöliittymänä toimii yksi käyttäjänappi ja -ledi, jonka seurauksena siihen on vaikea toteuttaa useita käyttötiloja.

Uuden laitteen kehittämisen päämotivaationa toimii edellä mainittujen erillisten komponenttien integrointi yhdelle piirilevylle ja laitteen käyttöliittymän parantaminen Bluetooth-yhteyden avulla. Työn yhteydessä on toteutettu myös PC-ohjelma ja Android-sovellus laitteen ohjaamiseen ja monitorointiin joko USB-väylän (Universal Serial Bus) tai Bluetoothin yli, mutta niiden tarkempi kuvaus ei kuulu tämän työn laajuuteen. Työn yhtenä tärkeimpänä tavoitteena on luoda tehokas ohjelmistoarkkitehtuuri, joka pystyy tarjoamaan tarjoamaan luotettavia anturimittauksia useille mittausyksikössä ajettaville käyttäjäalgoritmeille.

Työ on jaettu neljään osaan. Kappaleessa 2 kerrotaan mitä työssä ollaan tekemässä, ja verrataan uuden laitteen ominaisuuksia jo olemassa oleviin kaupallisiin



Kuva 1.1: Uudet mittausyksiköt ja vanha kehitysalusta vierekkäin

tuotteihin. Kappaleessa 3 kerrotaan laitteen komponenttien valintaperusteista ja piirilevy suunnittelusta. Kappale 4 esittelee laitteen ohjelmistoarkkitehtuurin ja sovellusrajapinnan laitteessa toimiville algoritmeille. Kappale 5 on kokeellinen, ja siinä esitetään mittausjärjestely laitteessa käytettyjen antureiden kalibroimiseksi. Lisäksi kappaleessa esitellään tuloksia ja käyttökokemuksia todellisista mittausympäristöistä.

2. LÄHTÖKOHDAT

Tämä työ pohjautuu ST Microelectronicsin STEVAL-MKI062V2 -inertiakehitysalustaan, joka sisältää kiihtyvyyssanturin, gyroskoopin, magnetometrin, barometrin sekä lämpötila-anturin. Kehitysalustan ulkoisiin liitäntöihin kuuluu muistikorttiliitäntä, USB-liitäntä sekä laajennusliitäntä sarjaliikenteelle.

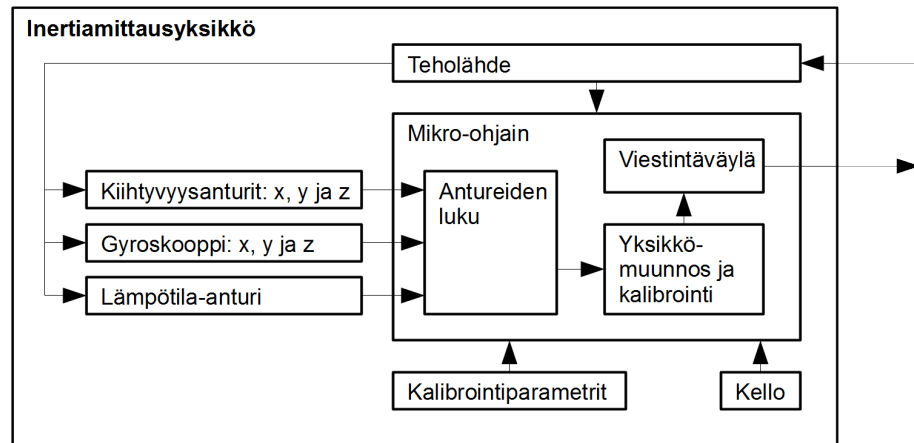
Kehiteltävän inertiamittausyksikön tavoitteena on sisältää STEVAL-MKI062V2 -alustan toiminnallisuus ja lisätä GPS-moduuli, Bluetooth-liitäntä sekä toiminta akun varassa. Seuraavassa listassa on esitetty uuden laitteen vaatimukset:

- Inertia-anturit: kiihtyvyyssanturi ja gyroskooppi
- Muut anturit: magnetometri, barometri ja lämpötila-anturi
- Hyvä liitettävyyys (muistikortti, Bluetooth, USB-liitäntä)
- GPS-paikannus ja aikasynkronointi
- Käyttäjäsovellusten suorittaminen laitteessa
- Pienikokoinen ja akkukäyttöisyys

Suunniteltavien mittausyksiköiden pääasiallinen käyttökohde tulee olemaan moottoripyörän ajotapahtumien havaitsemisessa. Mittaustilanteessa useita mittausyksiköitä on kiinnitetty moottoripyörään ja kuljettajaan, joista jokainen tutkii itsenäisesti ajotapahtumia. Tapahtumaliput siirretään langattomasti isäntäkoneelle, joka päättää millainen ajotapahtuma on kyseessä. Monen mittausyksikön samanaikainen toiminta asettaa haasteita ajastuksen ja laitteiston helppokäyttöisyydelle.

Yksiköiden ajastuksen tahdistaminen on saavutettavissa GPS-moduulilla, joka tukee aikapulsseja. Tämän toiminnon avulla GPS-moduulit pystyvät tarjoamaan mikrosekuntiluokan tarkkuuksia [11]. Mittausyksikön helppokäyttöisyyden vuoksi on tärkeää, että GPS-moduuli integroidaan samalle piirilevyille muiden komponenttien kanssa. Lisäksi johdotuksien välttämiseksi GPS-moduulin tulee sisältää sisäinen antenni.

Mittausyksiköiden helppokäyttöisyyteen vaikuttaa niiden itsenäinen toiminta. Tämä tarkoittaa sitä, että johtojen vetämisestä yksiköiden tai isäntäkoneen välillä tulee välttää. Langaton toiminta vaatii laitteelta akkukäyttöisyyttä sekä langatonta



Kuva 2.1: Rakennekuva inertiamittausyksiköstä

tiedonsiirtomahdollisuutta. Radiolinkin rajallisesta kaistasta johtuen kaikkea anturitietoa ei voi jatkuvasti siirtää isäntäkoneelle. Tämä asettaa vaatimuksia laitteen laskentateholle, sillä mittausyksikön pitää pystyä laskemaan anturitiedosta halutut suuret ja välittää vain nämä isäntäkoneelle. Suurikaistainen tieto voidaan tallettaa muistikortille myöhempää tarkastelua varten.

2.1 Inertiamittausyksikkö

Kuvassa 2.1 on esitetty inertiamittausyksikön rakenne. Se koostuu kolmen akselin kiihtyvyyssanturista ja gyroskoopista, mikro-ohjaimesta, teholähteistä ja muistista, johon on tallennettu kalibrointivakioita. Mikro-ohjaimen tehtävänä on lukea antureita ja tehdä niille yksikkömuunnoksia ja kompensoida niiden tunnetut virheet kalibrointivakioiden avulla. Lisäksi mikro-ohjain tarjoaa prosessoidut anturilukemat eteenpäin viestitysväylän kautta.

Mittausyksikön sisältämät anturit ovat erilaisia valmistusteknisistä syistä. Antureiden antamiin lukemiin vaikuttavat muun muassa tehtaalta valmistunut erä, antureiden asettelu piirilevylle kalustusvaiheessa ja lämpötila. Lukemien korjaamiseksi inertiamittausyksikkö kalibroidaan virheiden varalta. Mittausyksiköt voidaan kalibroida jokainen erikseen tai asettaa kaikille samat kalibrointiparametrit. Yksittäinen kalibrointi on huomattavasti kalliimpaa.

Tässä työssä esiteltävä laite sisältää inertiamittausyksikön, mutta on kokonaisuudessaan laajempi sillä, siinä voidaan myös suorittaa käyttäjäsovelluksia, jotka hyödyntävät inertiamittausyksikön tarjoamaa tietoa.

2.2 Vertailua kaupallisiin laitteisiin

Sovelluksessamme käytetyn mittausyksikön tärkein tehtävä on tarjota aikatahdistettuja mittauksia laitteen sisällä ajettaville käyttäjäsovelluksille. Lisäksi laitteen



Kuva 2.2: Kaupallisista inertiamittausyksiköitä

tulee toimia itsenäisesti ja pystyä keskustelemaan langattomasti isäntäkoneen kanssa. Ennen uuden mittausyksikön suunnittelun aloittamista tehty kaupallisten laitteiden kartoitus ei tuottanut täysin sopivia ehdokkaita käyttökohteeseemme. Tässä kappaleessa esitellään kartoituksen tuloksia.

Hikob FOX

Ranskalainen yritys Hikob on erikoistunut liikenteen ja rakennusten seurantaan pienivirtaisten langattomien anturiverkkojen avulla. Eräs yrityksen vahvuuksista on sen tarjoamien tuotteiden avoimuus OpenLab-yhteisön [3] kautta. OpenLab-yhteisö tarjoaa kehitystyökaluja, lähdekoodia ja esimerkkejä yrityksen tuotteiden ohjelmistokehitykseen.

Yritys valmistaa kuvan 2.2a Hikob FOX -tuotetta [2], joka sisältää lähes samat ominaisuudet kuin tässä työssä kehitetty mittausyksikkö. Erottava tekijä on käytetyn radiolinkin protokolla, joka perustuu IEEE 802.15.4 -standardiin. Tämä protokolla ei ole yhteensopiva älypuhelimien kanssa, joten se rajoittaa tuotteen käytettävyyttä sovelluksessamme. Rajoittavana tekijänä on myös GPS-moduulin puute, joka on tärkeä osa mittausten aikatahdistuksen kannalta. Tuotetiedustelun yhteydessä kävi ilmi, että yritys on valmistamassa GPS-tytärlevyä, mutta sen arvioitu valmistumisaika on vuoden 2013 toinen neljännes.

Xsens MTw

Hollantilainen yritys Xsens on erikoistunut kolmiulotteisen liikkeen seuraamiseen ja tarjoaa ratkaisuja teollisuuskoneiden liikkeen seuraamiseen sekä puettavia anturisyksiköitä ihmisen liikkeen tallentamiseen. Yrityksen tarjoamat tuotteet sisältävät laadukkaampia antureita verrattuna tässä työssä esitettyyn laitteeseen, mutta eivät tarjoa yhtä laajoja mahdollisuuksia omien reaaliaikaisen sovellusten kehittämiseen.

Yritys valmistaa kuvassa 2.2b esitettyjä langattomia MTw-mittausyksiköitä [4]

ihmisen liikkeen seurantaan. Mittauksia voidaan suorittaa samanaikaisesti usealla eri yksiköllä, ja ne kommunikoivat USB-väylään kiinnitettävän emoaseman kanssa. Emoaseman sisäinen protokolla tarjoaa aikatahdistuksen mittauksille. Käyttäjä pystyy tekemään tietokoneelle oman sovelluksen, joka lukee anturitietoa yksiköiltä yrityksen tarjoaman ohjelmistorajapinnan kautta. MTw soveltuu hyvin käyttökohteeseemme, mutta yksiköt maksavat useita tuhansia euroja kappaleelta. Täten niitä voidaan käyttää referenssimittauksissa käyttäjäsovelluksia kehitettäessä, mutta laajempaan käyttöön ne eivät sovellu.

iSense AIST-350

Venäläinen yritys iSense valmistamaa ja kalibroi laadukkaita MEMS-teknologiaan (Micro Electro Mechanical Systems) perustuvia inertiamittausyksiköitä. Yrityksen tuotteet eivät ole toiminnaltaan itsenäisiä ja vaativat aina isäntäkoneen vastaanottamaan ja käsittelemään tietoa.

Kuvassa 2.2c on esitetty yrityksen valmistama AIST-350 lämpötilaohjattu inertiamittausyksikkö. AIST-350:ä voidaan käyttää esimerkiksi ajoneuvoissa kiinteänä asennuksena, mutta sen suuren koon ja virrankulutuksen vuoksi sitä ei voida pukea ihmisen päälle. Käyttökohteessamme AIST-350 pystyy tarjoamaan tarkkoja referenssimittauksia ajoneuvon liiketilasta.

3. LAITTEISTO

3.1 Komponenttien valintaperusteet

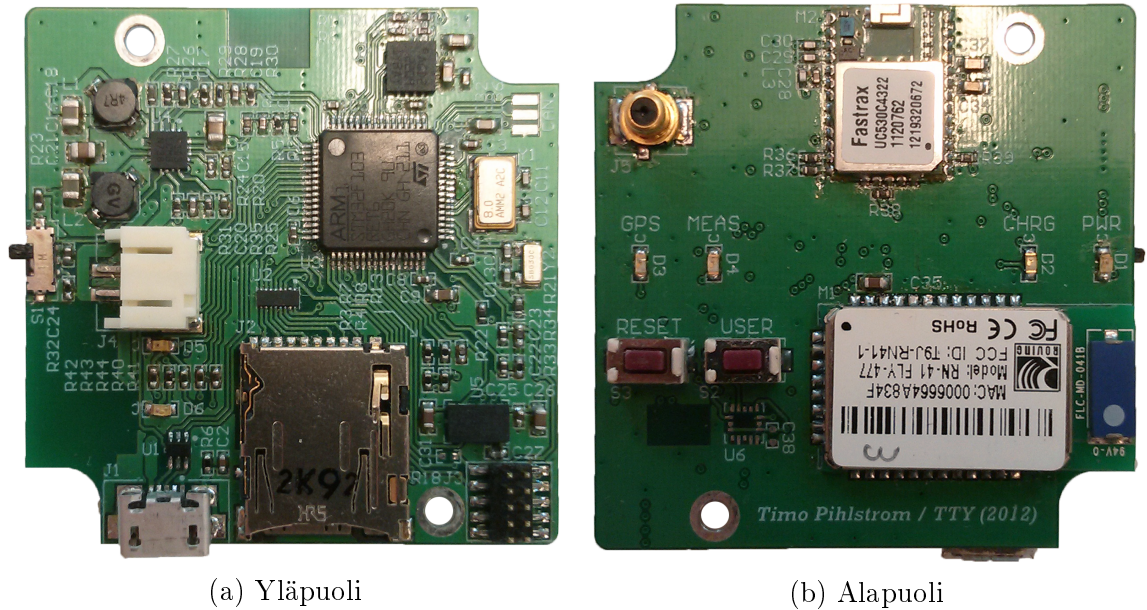
Mikro-ohjaimen tehtävänä on toteuttaa kuvassa 2.1 esitetyn inertiamittausyksikön toiminnot. Nämä toiminnot on mahdollista suorittaa 8-bittisellä mikro-ohjaimella, mutta samalla suorittimella tulee myös pystyä suorittamaan laskentaintensiivisiä käyttäjäsovelluksia. Tästä syystä valitun mikro-ohjaimen ytimen tulee olla 32-bittinen ja toimia riittävän korkealla kellotaajuudella. Toimiakseen osana muuta järjestelmää mikro-ohjain tarvitsee kaksi sarjaliikenneporttia ja vähintään yhden I²C-väylän (Inter-Integrated Circuit). Laitteen kokorajoituksista johtuen, mikro-ohjaimen pakkauksen ulkomitat saavat olla korkeintaan 10 mm x 10 mm, joka asettaa rajoituksia ohjaimen kotelointityypille ja pinnien lukumäärälle.

Toteutettava laite on tehty projektiin, joka tutkii vähävirtaisia antureita kuluttajasovelluksissa – soveltuvia antureita voi löytää esimerkiksi peliohjaimista tai matkapuhelimista. Täten suurin rajoite anturien valinnalle on niiden hinta ja pakkauksen koko. Antureiden tulee myös toimia dynaamisissa tilanteissa, esimerkiksi törmäyksissä, joten lukutaajuuksien ja käyttöalueiden tulee olla riittävän suuret.

Jotta suunniteltava mittausyksikkö pystyy toimimaan useissa erilaisissa käyttötilanteissa, tulee sen sisältää erilaisia liitäntöjä ulkomaailmaan. Valittuihin liitäntöihin kuuluvat USB- ja Bluetooth-liitännät sekä mahdollisuus käyttää muistikorttia. USB-liitäntä on tarkoitettu jatkuvaan toimintaa, sillä liitäntä tarjoaa tiedonsiirtoväylän ja käyttöjännitteen. Muistikortin ja Bluetooth-liitännän avulla laite toimii langattomasti. Bluetooth-liitäntä tarjoaa pienikaistaisen tiedonsiirtoväylän laitteelle ja muistikortin avulla voidaan tallentaa suurikaistaista tietoa myöhempää tarkastelua varten.

Useiden mittausyksiköiden on toimittava samanaikaisesti aikatahdistetusti. Tämä voidaan toteuttaa lisäämällä laitteeseen GPS-moduuli, joka tukee aikapulssitoimintaa. Tämän lisäksi moduulin vaatimuksina tulee olla pieni koko, sekä sisäinen antenni hyvällä herkkyydellä. Moduulin toimintoja tulee myös pystyä testaamaan sisätiloissa, jolloin moduulin on tuettava ulkoista aktiivista antennia.

Eräs laitteen suunnitteluvaatimus on akkutoiminta, joka lisää monimutkaisuutta tehonhallintaan akkulaturin muodossa. Koska laite tarvitsee myös hyvällä hyötysuhteella toimivan jännitevakavointipiirin, kasvaa komponenttien määrä nopeasti. Tärkein valintaperiaate tehonhallintaan on sen vaatima piirilevyypinta-ala ja riittävä



(a) Yläpuoli

(b) Alapuoli

Kuva 3.1: Toteutetun mittausyksikön piirilevy

virranantokyky.

Viimeinen kappaleessa 2 esitetty suunnitteluvaatimus on laitteen pieni koko ja paino. Tämä pystytään saavuttamaan vain mikäli kotelon, piirilevyn ja komponenttien ulkomitat otetaan huomioon suunnittelun aikaisessa vaiheessa. Lisäksi laitteelle tulee määrittää toivottu käyttöaika akun varassa, koska liian suurikapasiteettisen akun valinta kasvattaa kotelosta ulkomittoja. Kotelosta pitää myös löytyä kiinnityspisteitä.

3.2 Komponentit

3.2.1 Mikro-ohjain

Laitteessa käytetään ST Microelectronicsin valmistamaa STM32F103RET6 -mikro-ohjainta, joka perustuu 32-bittiseen ARM Cortex M3 -yttimeen. Mikro-ohjain sisältää 512 kilotavua ohjelmamuistia ja 64 kilotavua datamuistia. Ulkoisina liitäntöinä ohjaimessa on USB-liitäntä, kaksi sarjaliikenneväylää, kaksi I²C- ja SPI-väylää (Serial Peripheral Interface) sekä SDIO-väylä (Secure Digital Input Output) muistikortille. Ohjelmointi- ja debugausliitäntänä mikro-ohjain käyttää JTAG-liitäntää (Joint Test Action Group).

Ohjain käyttää kahta ulkoista kideoskillaatoria. Ohjaimen USB-lohko käyttää sisäistä 48 MHz kellotaajuutta, joten pääkiteen taajuuden on oltava tämän monikerta. Täten kiteen kellotaajuudeksi on valittu 8 MHz ja taajuusvakaudeksi 20 ppm. Toinen kide on pienitaajuuksinen kellokide, jonka avulla prosessori ylläpitää aikaa tai voi toimia pienivirtaisessa lepotilassa.

3.2.2 Anturit

Kiihtyvyyssanturi ja magnetometri

Yhdistettynä kolmiakselisena kiihtyvyyssanturina ja magnetometrina laitteessa toimii ST Microelectronicsin valmistama LSM303DLHC [6], joka kytkeytyy mikro-ohjaimen I²C-väylään. Käyttäjä voi valita kiihtyvyyssanturille toiminta-alueeksi $\pm 2g$ - $\pm 16g$ ja magnetometrille $\pm 1,3$ - $\pm 8,1$ Ga. Komponentin sijoitus piirilevyllä on tehty magnetometrin ehdoilla, ja täten se on sijoitettu etäälle tehonhallintapiireistä ja sen häiriötä aiheuttavista suodatuskeloista. Tämän lisäksi kaikkien kerrosten kuparitasot ja reititykset on poistettu suoraan komponentin alapuolelta, jotta niissä kulkevien virtojen aiheuttamat magneettikentät eivät häiritse mittauksia. Anturipiiri on pyritty myös sijoittamaan lähelle gyroskooppia, jotta näiden kahden komponentin tuottamat mittaukset kuvastaisivat samaan pisteeseen liittyviä suureita. Komponentti on sijoitettu kuvan 3.1a oikeaan alanurkkaan.

Gyroskooppi

Gyroskooppina laitteessa on ST Microelectronicsin valmistama L3GD20, joka voidaan liittää joko I²C- tai SPI-väylään. Käyttäjä voi valita piirin toiminta-alueeksi ± 250 - ± 2000 °/s ja voi lukea anturia enintään 760 Hz taajuudella. Piiri on valittu, koska sen suorituskyky ja hinta ovat lähellä matkapuhelimissa esiintyviä gyroskooppeja.

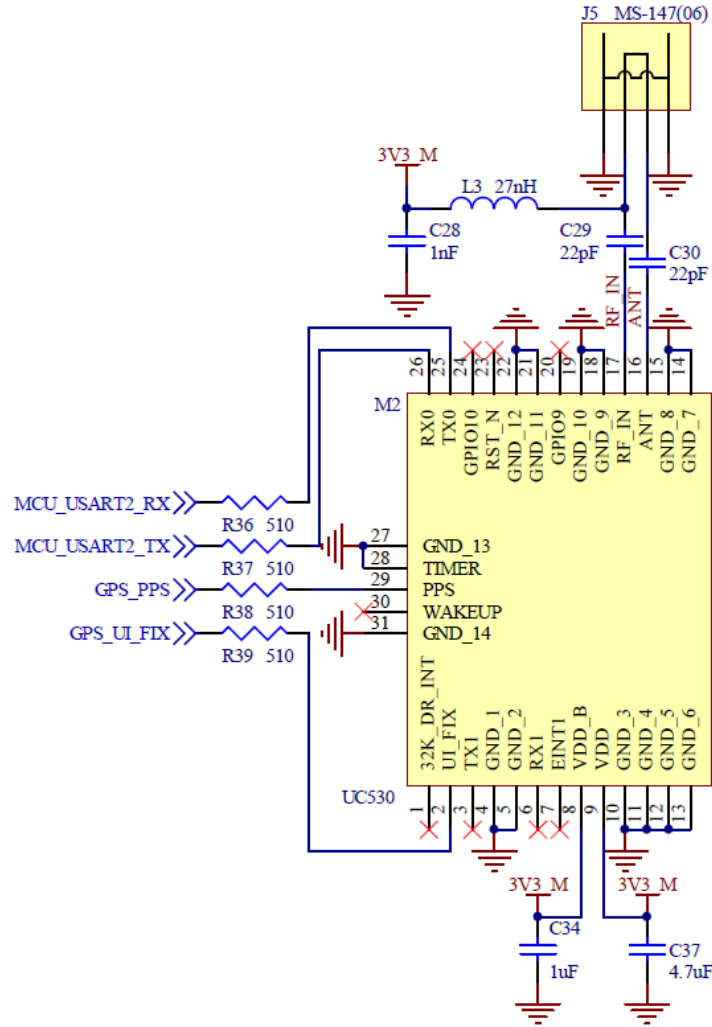
Paineanturi

Piirilevyllä on varattu paikka ST Microelectronicsin valmistamalle LPS331AP -paineanturille, mutta sitä ei ole kalustettu laitteen kehitysversioissa. Komponentti sijaitsee kuvan 3.1b vasemmassa alanurkassa. Piirin mittausalue on 260-1260 mbar ja näytteistystaajuus on käyttäjän valittavissa 1-25 Hz. Paineanturia voidaan käyttää apuna korkeuden mittauksessa täydentämässä GPS-moduulilta saatua korkeustietoa.

3.2.3 Liitynnät ulkomaailmaan

Muistikortti

Muistikorttiliittimeksi on valittu Hirose Electricin DM3AT-SF-PEJM5 -liitin [9], joka toimii microSD-korttien kanssa. Muistikortti kytkeytyy mikro-ohjaimen SDIO-väylään, joka tarjoaa 4-bittisen tiedonsiirtoväylän 25 MHz nopeudella. Muistikorttiliittimen ja mikro-ohjaimen väliin on lisätty EMIF06-MSD02N16 -häiriönsuodatuspiiri [10], joka suojaaa myös sähköstaattisia purkauksia vastaan. Suodatuspiiri on valittu



Kuva 3.2: GPS-moduulin kytkentäkaavio

sen pienen koon takia, sillä se on sijoitettu ahtaaseen paikkaan mikro-ohjaimen ja muistikorttiliittimen väliin.

GPS-liityntä

U-bloxin valmistama GPS-moduuli UC530 [11] mahdollistaa sisäisen ja ulkoisen antennin käytön. Moduuli on kytketty mikro-ohjaimen sarjaliikenneväylään ja lähettää aikapulssisignaalia ohjaimen IO-pinniin. Kytkentä mikro-ohjaimeseen on esitetty kuvassa 3.2. Kytkennän GPS_PPS-signaali tuottaa 100 ms kanttiaaltopulsseja sekunnin välein, joiden luvattu tarkkuus on $1 \mu\text{s}$ sisällä. Pulslien tuottaminen alkaa muutama sekunti ensimmäisen paikannuksen jälkeen ja tätä voidaan käyttää apuna useiden mittausyksiköiden aikatahdistamisessa. Signaali GPS_UI_FIX tuottaa kahden sekunnin välein 200 ms pulsseja, mikäli GPS-moduuli on saanut paikkaratkaisun. Muutoin tämä signaali pysyy alhaalla. Tämän signaalin avulla mikro-ohjaimen ohjelmisto tietää missä tilassa GPS-moduuli on.

Moduuli on ulkomitoiltaan 14 x 9,6 mm, mutta laitteen sisäinen antenni vaatii ympärilleen vähintään 45 x 20 mm katkeamattoman kuparialueen, joka kasvattaa huomattavasti moduulin käyttämää piirilevyalaa. Tämä asettaa vaatimuksia piirilevysuunnittelulle, ja kuvasta 3.1b nähdään että koko piirilevyn yläosa on varattu antennin maatasolle. Kuvassa näkyy myös ulkoisen aktiivisen antennin liitäntä vasemmassa yläkulmassa. Liitin toimii kytkimenä, joka liitoksen huomattessaan katkaisee sisäisen antennin signaalin ja ohjaa ulkoisen antennin signaalin moduulille. Liittimen kytkentä on esitetty kuvassa 3.2, jossa kela L3 sallii tasajännitteen siirtämisen aktiiviselle antennille, mutta estää radiotaajuisten signaalien pääsyn käyttöjännitelinjaan. C29 ja C30 ovat erotuskondensattoreita, jotka päästävät vain radiotaajuiset signaalit moduulin antennisisäänmenoon.

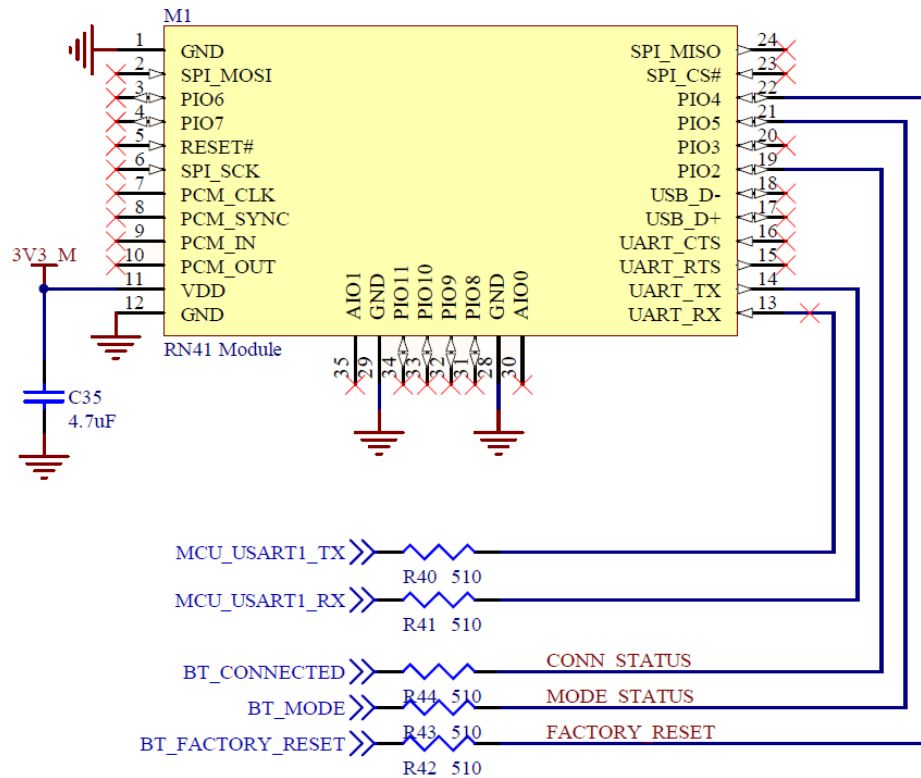
USB-liityntä

USB-liitäntään tärkein tehtävä on tarjota tehoa akunlatauspiirille. Sen toinen tehtävä on toimia suurikaistaisena tiedonsiirtoväylänä, jota voidaan käyttää esimerkiksi mitausten tai tulosteiden siirtämiseen tietokoneelle. Liitintyyppi on valittu micro-B, joka tarjoaa luotettavan liitäntään pienessä koossa.

USB-väylä on differentiaalinen väylä, joka tarvitsee terminointivastukset sekä isännän että laitteen päähän. Tämän lisäksi laitteen tulee kytkeä toinen datalinjoista ylösvetovastuksella käyttöjännitteeseen, joka määrittää laitteen toimintatilan. Mittausyksikössä terminointi, ylösvetovastus ja ESD-suojaus (Electrostatic Discharge) on toteutettu ST Microelectronicsin USBUF02W6-piirillä [12].

Bluetooth-liityntä

Mittausyksikön Bluetooth-moduuliksi on valittu Microchipin valmistama RN41-moduuli [13], koska se sisältää oman Bluetooth-pinonsa ja valmiin SPP-profilin (Serial Port Profile). Moduuli tukee Bluetooth 2.1 -standardia ja toimii luokassa 1. Moduulia käytetään sarjaporttiliitäntään kautta ja kuvassa 3.3 on esitetty kytkentä mikro-ohjaimelle. Moduuli vetää signaalin BT_CONNECTED ylös silloin, kun moduuli on paritettuna toisen laitteen kanssa, tämä signaali on kytketty piirilevyllä olevaan lediin ja mikro-ohjaimelle. Signaali BT_MODE on kytketty pelkästään piirilevyllä olevaan lediin, ja vilkkuu 1 Hz taajuudella silloin, kun moduuliin voidaan ottaa yhteys; ja vilkkuu kymmenen hertsin taajuudella silloin, kun moduuli on mikro-ohjaimen ohjaamassa komentotilassa. BT_FACTORY_RESET signaali palauttaa moduulin tehdasasetustilaan mikäli siihen syöttää kolme pulssia. Tämä signaali on kytkettynä mikro-ohjaimelle ja sen kanssa moduuli voidaan palauttaa havaitusta virhetilasta.



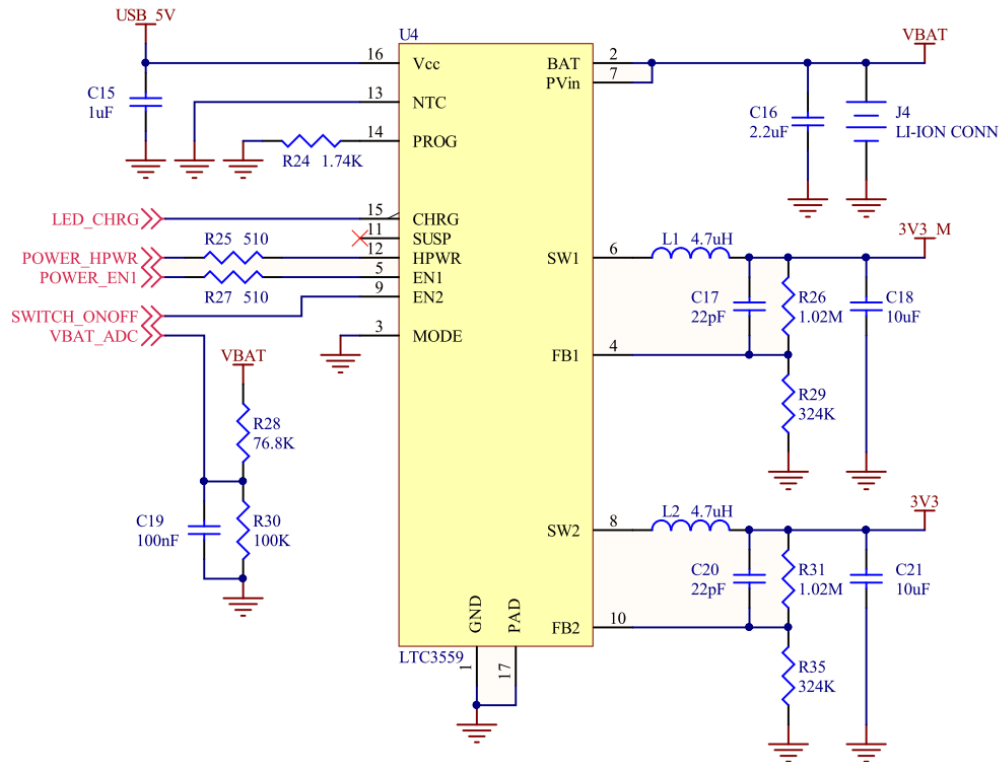
Kuva 3.3: Bluetooth-moduulin kytkentäkaavio

3.2.4 Tehonhallinta

Kuvassa 3.4 on esitetty mittausyksikön tehonhallintapiiri. Se perustuu Linear Technologyn LTC3559-piiriin [14], joka sisältää lineaarisen akkulaturin ja kaksi laskevaa hakkuriteholähdettä. LTC3559 saa käyttötehonsa USB-isännältä, joka tarjoaa asiakaslaitteille normaalitilassa 100 mA virtaa ja pyydettyessä 500 mA. Piirin otama sisäänmenovirta määritetään vastuksella R24, joka kyseisellä vastusarvolla on asetettu 500 mA:iin. Mikro-ohjain voi ohjata piiriin HPWR-pinniä, joka määrittää käytetäänkö asetetusta sisäänmenovirrasta 20 % vai 100 %.

Toinen laitteen hakkuriteholähteistä antaa virtaa mikro-ohjaimelle, antureille sekä muistikortille. Tämä hakkuri voidaan kytkeä päälle laitteen virtakytkimellä, joka nostaa EN2-pinnin tilan korkeaksi. Toinen hakkureista antaa virtaa GPS- ja Bluetooth-moduulille. Vastaavasti tämä hakkuri voidaan kytkeä päälle EN1-pinnillä, jota ohjataan mikro-ohjaimella. Molemmat hakkureista on asetettu antamaan 3,3 voltin ulostulojännite ja molempien maksimivirranantokyky on 400 mA.

Laitteen akuksi on valittu suojapiirillinen 400 mAh litiumpolymeeriakku [15], joka on kompromissi akun ulkomittojen ja mittausyksikön käyttöajan suhteen. Arvioitu laitteen virrankulutus aktiivisessa tilassa on noin 100-150 mA, joten akku tarjoaa käyttöajaksi 3-4 tuntia. Akku kytketään piirilevylle JST-liittimellä [16]. Lisäk-



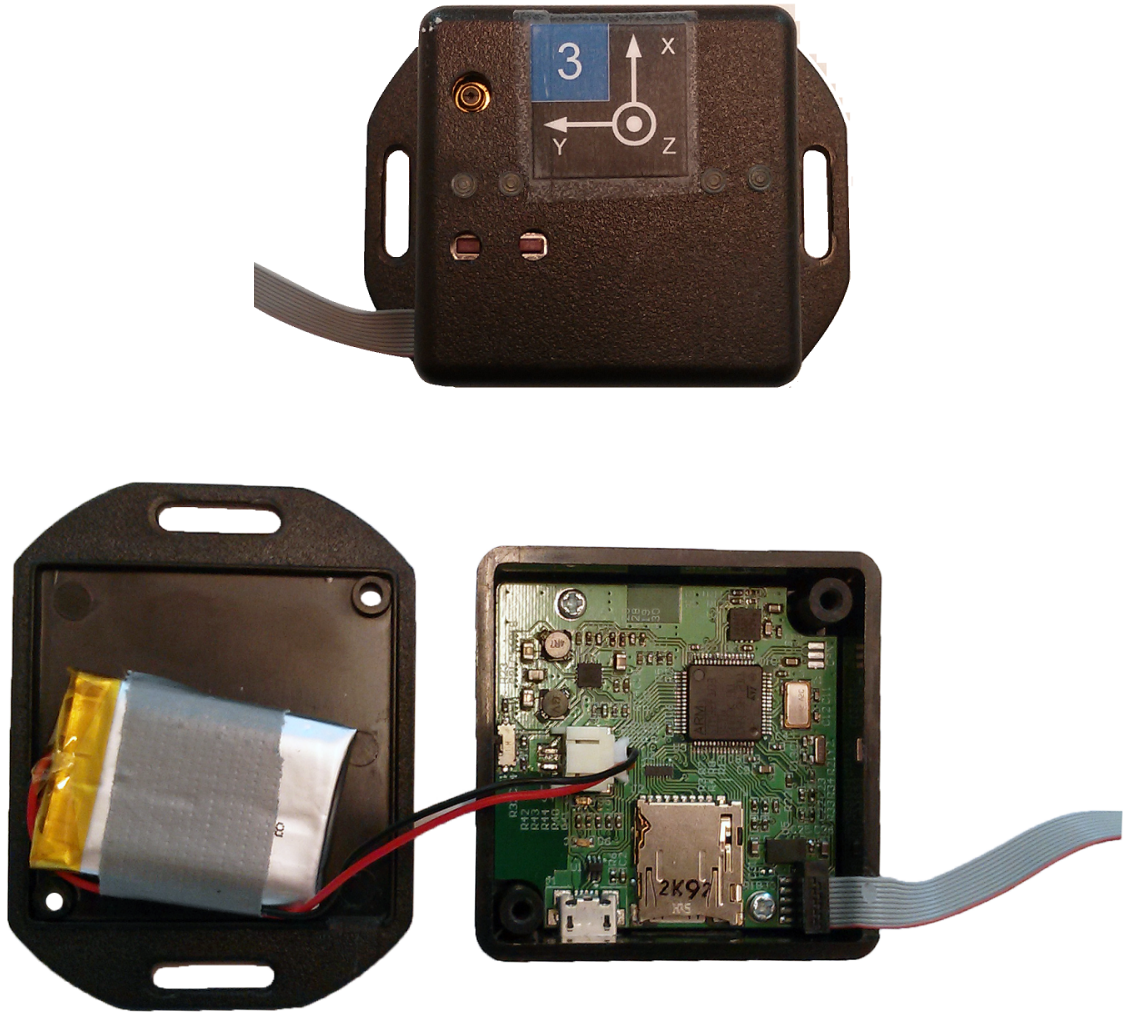
Kuva 3.4: Tehonhallintapiirin kytkentäkaavio

si tehonhallinta tarjoaa mikro-ohjaimelle jännitejaoon akkujännitteestä, joka A/D-muuntimen (analogia-digitaalimuunnin) avulla voidaan lukea ohjelmallisesti – tämän avulla laitteen toiminnot voidaan keskeyttää ennen akun tyhjenemistä.

3.2.5 Mekaaninen suunnittelu

Mittausyksikön kotelona toimii Hammond Mfg:n 1551FL-kotelo [17], joka on ulkomitoiltaan 50 x 50 x 20 mm. Piirilevyn ulkomitat ovat 44 x 44 mm ja sen muoto on suunniteltu valittuun koteloon käyttäen apuna 3D-mallinnusohjelmistoa. Kuva 3.5 esittää kotelon, piirilevyn ja litiumpolymeeriakun kiinnitettyinä toisiinsa.

Kuva 3.5 esittää mittausyksikön koteloinnin ylhäältä katsottuna. Kuvassa näkyy ulkoinen liittin aktiiviselle GPS-antennille, neljä lediä ja kaksi käyttäjäpainiketta. Ledit ilmaisevat vasemmalta oikealle lukien GPS-moduulin tilan (oranssi), käynnissä olevan mittauksen (keltainen), käynnissä olevan akun latauksen (punainen) ja mikäli laite on päällä (vihreä). Ledien valo tuodaan kotelon pintaan lyhyillä valoputkilla, jotta aktiivisen ledin näkee paremmin suurestakin kulmasta. Kaksi käyttäjäpainiketta ovat noin millimetrin kotelon ulkoreunan sisällä, jotta niitä ei vahingossa paina mittausten ollessa käynnissä. Painikkeiden tehtävät vasemmalta oikealle lukien ovat laitteen uudelleenkäynnistys ja mittausten kytkeminen päälle tai pois. Jokaiseen mittausyksikköön on lisäksi lisätty tarra, joka kertoo mittausyksikön yksilöllisen



Kuva 3.5: Mittausyksikön kotelointi

numeron ja mitattavien akseleiden suunnan.

4. OHJELMISTO

4.1 Lohkorakenne

Kuvassa 4.1 on esitetty mittausyksikön ohjelmiston lohkorakenne. Ohjelmisto perustuu FreeRTOS-käyttöjärjestelmään ja sen tarjoamiin säie- ja jonopalveluihin. Jokainen kuvassa esiintyvistä moduuleista sisältää yhden FreeRTOS-työsäikeen ja mahdollisen viestintäsäikeen. Viestintäsäikeiden avulla moduulit liittyvät kuvassa esitettyyn sisäiseen viestintäväylään kuuntelemalla niille asetettuja viestijonoja.

Muut ohjelmiston ulkoiset ohjelmistokomponentit ovat ST Microelectronicsin tarjoamia ajureita mikro-ohjaimen sisäisille lohkoille, kuten USB:n virtuaalisarjaporttiajuri, I²C-väylän ajuri, muistikorttiväylän ajuri ja siihen liittyvä FAT-tiedostojärjestelmäkirjasto (File Allocation Table) sekä ajurit kiihtyvyyssanturille, magnetometrille sekä gyroskoopille. ST Microelectronicsin tarjoamien ajureiden lisäksi ohjelmistossa on käytetty NMEA-kirjastoa (National Marine Electronics Association) GPS-moduulilta tulevien viestien tulkitsemiseksi sekä OpenPilot-projektin Kalman-suodinta [22] laitteen suorituskyvyn testaamiseksi.

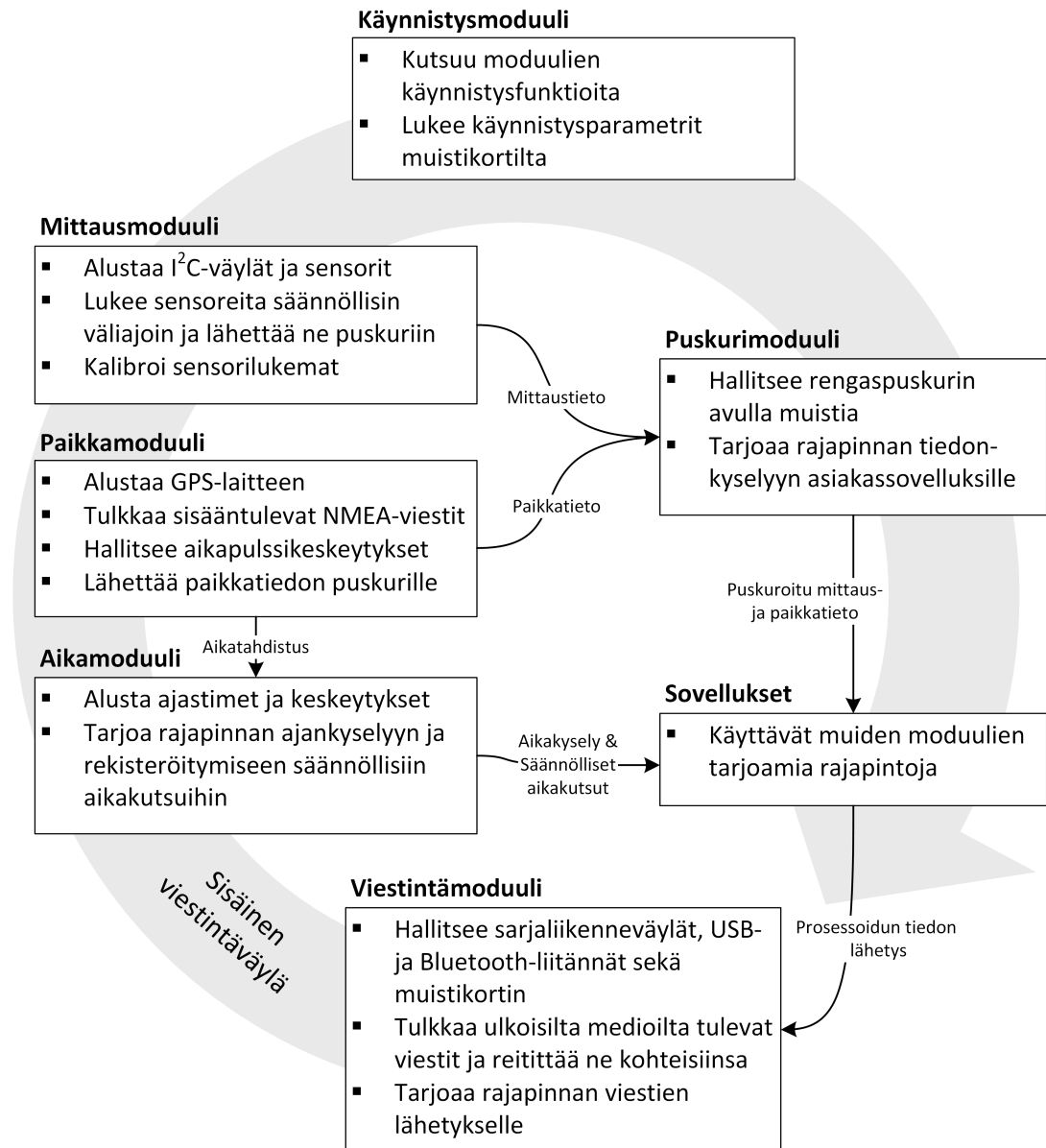
4.2 Toiminnallinen kuvaus

Laitteen käynnistyessä main-funktio asettaa mikro-ohjaimen kellot ja muistit käyttökuntoon, jonka jälkeen kutsuu se käynnistysmoduulin alustusfunktioita, jonka tehtävänä on käynnistää muut moduulit. Tämän lisäksi käynnistysmoduuli luo oman säikeensä, jonka tehtävänä on lukea käynnistyksen aikana muistikortilta asetustiedosto ja lähettää sen sisältämät parametrit muille moduuleille sisäisen viestintäväylän kautta. Säie toimii pienellä prioriteetilla, joten se on myös sopiva paikka debug-tulosteille.

4.2.1 Antureiden lukeminen

Mittausmoduulin tehtäviä ovat antureiden alustaminen laitteen käynnistyessä, anturien lukeminen tasaisin väliajoin sekä mittauksen kalibrointien suorittaminen. Moduuli käyttää useita ST Microelectronicsin tarjoamia valmiita ohjelmistokomponentteja, kuten anturiajureita ja I²C-kirjastoa.

Käynnistysmoduuli koostuu kahdesta säikeestä, joista toinen on viestintäsäie ja



Kuva 4.1: Ohjelmiston lohkorakenne

toinen työsaie. Viestintäsaiekeen tehtävänä on kuunnella mittausmoduulin omaa viestijonoa, ja tulkitä sekä vastata siihen saapuneita viestejä. Mittausmoduuli tukee viestejä antureiden lukunopeuden asettamiselle ja kyselylle sekä mittauksen asettamiseksi päälle ja pois. Kaikki mittausmoduulin sisäisten toimintaparametrien asetus tapahtuu viestijonon kautta, jonka avulla on päästy eroon jaettujen resurssien ongelmasta, sillä vain yhtä viestiä käsitellään kerrallaan.

Työsaiekeen tehtävänä on käynnistyessään alustaa I²C-väylät käyttökuntoon ja sen jälkeen lähettää antureille alkuparametrit, jotka sisältävät muun muassa päivitysnopeuden ja mittausalueen laajuuden. Mittauksen ajastamiselle on kaksi mahdollisuutta: FreeRTOS-käyttäjärjestelmän ajastuspalvelut tai mikro-ohjaimen sisältä-

män ajastinkeskeytyksen ajastama työsäikeen ajokerta. Ohjelmistossa on päädytty jälkimmäiseen ratkaisuun, sillä käyttöjärjestelmäpalveluita käyttämällä mittausker-toja saattaa hukkua tai viivästyä, mikäli muita korkeampiprioriteettisia säikeitä on ajossa. Ajastus toimii siten, että työsäie kuuntelee jonoa, johon ajastinkeskeytys li-sää yhden työtilauksen, joka määrittää mitä ajureita työsäikeen tulee lukea. Tämän jälkeen työsäie kysyy ajureilta päivitettyt anturilukemat ja siirtää ne puskurimo-duulille. Ajurien luku tapahtuu käyttämällä I²C-väylän keskeytyksiä, jolloin työsäie keskeyttää toimintansa kunnes anturilukema on päivitetty. Tämän viiveen aikana muut säikeet voivat siirtyä suoritukseen.

```
1  typedef struct measurement {
2      union {
3          uint8_t  i_payload[6];
4          float    f_payload[3];
5      };
6      uint32_t timestamp;
7      uint16_t source;
8      uint16_t pad1;
9  } measurement_t;
```

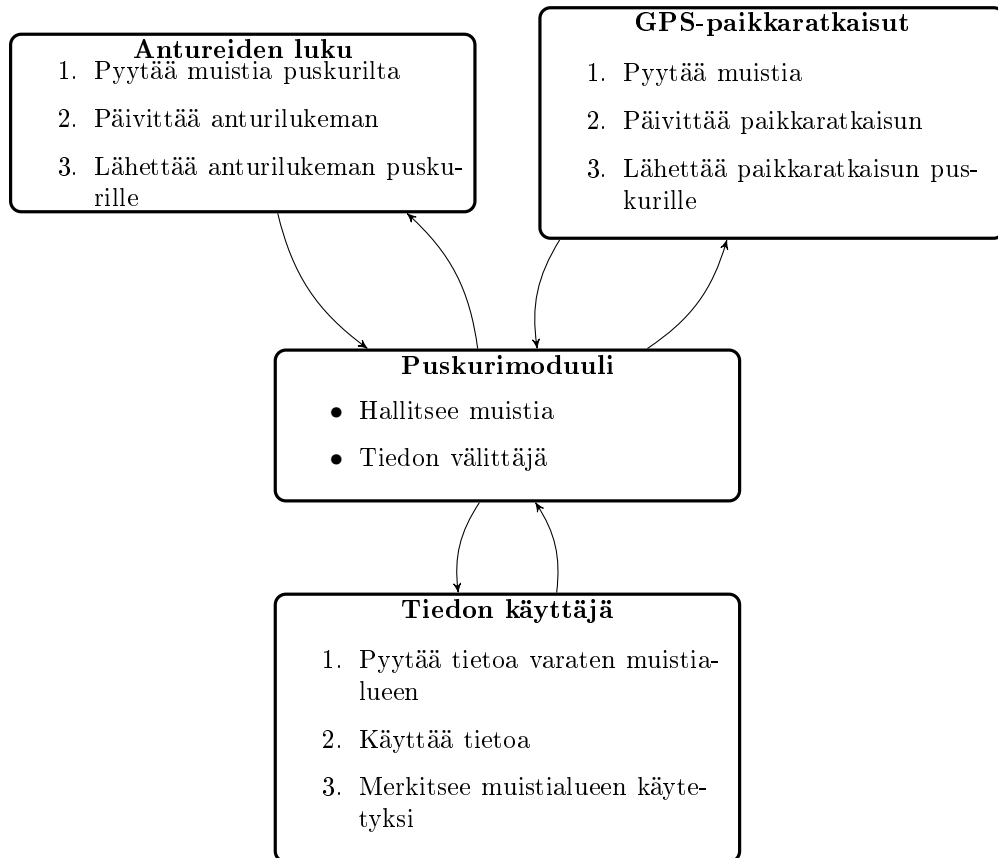
Listaus 4.1: Mittaustietorakenne

Listauksessa 4.1 on esitetty mittausmoduulin käyttämä sisäinen tietorakenne. Tietorakenne sisältää mittauksen aikaleiman, tietolähteen ja varsinaisen tiedon. Kent-tä pad1 on lisätty varmistamaan että mittausrakenteen koko on jaollinen neljällä ta-vulla, jolloin tietorakenteen siirtäminen eri moduuleille tai viestintämedialle on luo-tettavampaa. Varsinainen mittaustieto voi olla antureilta tullessaan kokonaisluku-muodossa, ja myöhemmin kalibroinnin jälkeen oikeassa yksikössään liukulukumuo-dossa. Tämä on toteutettu union-määritteellä, jolloin samaa muistialuetta voidaan käsitellä kahdella erilaisella tiedonesittämistavalla.

4.2.2 Anturitiedon siirto ja puskurointi

Puskurimoduulin tehtävä on ottaa vastaan tietoa mittaus- ja paikkamoduulilta sekä monistaa tämä data puskurimoduulin rekisteröityneille asiakassovelluksille. Pusku-rimoduulia tarvitaan, koska tietolähteitä ja asiakassovelluksia voi olla useita, jolloin muistinhallinta ja -jakaminen on ongelmallista.

Puskurimoduuli sisältää yhden työsäikeen eikä lainkaan viestintäsäiettä, joka on korvattu perinteisellä funktiorajapinnalla. Tämän rajapinnan avulla asiakassovel-lukset voivat rekisteröityä mittaus- ja paikkatietoon. Työsäie odottaa sisääntulevaa tietoa mittaus- tai paikkamoduuleilta, jonka siirto on toteutettu FreeRTOS-jonon



Kuva 4.2: Periaatekuva tiedonsiirrosta moduulien välillä

avulla ja sisältää osoittimia listauksen 4.2 mukaisiin tietorakenteisiin. Uuden tiedon saapuessa työväline siirtää sen rekisteröityneille asiakkaille. Mikäli rekisteröityneitä asiakkaita on useita, tieto monistetaan, jotta jokainen asiakas saa käyttöönsä oman muistialueen. Kaiken siirretyn tiedon muistialue on esivarattu puskurimoduulin käynnistyessä, jonka avulla vältetään turhaa muistinkopiointia, eikä tehdä lainkaan kutsuja hitaaseen muistinvarausoperaatioon. Puskurimoduulin sisäinen toiminta perustuu rengaspuskuriin, josta muistia tarvitsevat mittaus- ja paikkamoduulit pyytävät sitä. Kun muistialue on täytetty uudella tiedolla, siirtyy se puskurimoduulin läpi mahdollisesti usealle asiakassovellukselle. Kun asiakas on lopulta käyttänyt tiedon, merkitsee se muistialueen tyhjäksi kutsumalla muistinvapautusoperaatiota puskurimoduulin funktiorajapinnasta. Tämä edellä kuvattu toiminta esitetään kuvassa 4.2.

Listauksessa 4.2 on esitetty puskurimoduulin käyttämä tietorakenne, jonka avulla voidaan välittää muistia mittausmoduuleilta puskurimoduuleille ja sieltä eteenpäin asiakassovelluksille. Tietorakenne sisältää lähdekentän, jonka avulla voidaan määrittää mistä mittaustieto on lähtöisin, sekä täytetävän varmistamaan että tietorakenteen koko on jaollinen neljällä tavulla. Koska puskurimoduuli tukee tietoraken-

teita sekä mittaus- että paikkamoduulilta, sisältää tietorakenne osoittimen tietoon union-määreen avulla. Tämän avulla samaa muistialuetta voidaan tulkita kahdella eri tavalla riippuen alkuperäisestä tietolähteestä.

```

1  typedef struct buff_item {
2      uint16_t source;
3      uint16_t pad;
4      union {
5          measurement_t* meas;
6          GPSPositionData* gps;
7      };
8  } buff_item_t;

```

Listaus 4.2: Puskuritietorakenne

4.2.3 Aika- ja paikkapalvelut

Aikamoduuli sisältää palvelut ajan mittaamiseen ja säännöllisiin aikakutsuihin, joista molemmat palvelut perustuvat omiin mikro-ohjaimen sisäisiin ajastimiin. Aikamoduulin funktiorajapinta sisältää funktiot ajan kyselyyn ja päivittämiseen, sekä rekisteröitymisfunktioit aikakutsupalveluun. Aikakutsupalvelu kutsuu käyttäjän antamaa takaisinkutsufunktiota säännöllisin väliajoin niin kauan kunnes käyttäjä poistaa rekisteröintinsä. Käytetty aikaresoluutio on 1 ms ja aikaformaatti on GPS-aika, joka kuvastaa kuluneita millisekunteja viikon ensimmäisestä maanantaista lähtien. Aikamoduuli ja paikkamoduuli ovat läheisessä yhteistyössä, sillä paikkamoduuli päivittää sekunnin välein aikamoduulin aikaa kun GPS-moduuli on saanut paikannuksen.

Paikkamoduulin tehtävänä on alustaa GPS-moduuli käyttötilaan ja tulkita sieltä tulevat NMEA-muotoiset paikkaratkaisuviestit. Paikkamoduuli rakentuu yhdestä yhdistetystä työ- ja viestintäsäikeestä. Kaikki GPS-moduulilta saapuva NMEA-muotoinen tieto kulkee viestintämoduulin läpi, ja tulkitaan vasta paikkamoduulin säikeessä listauksessa 4.3 esitetyksi tietorakenteeksi. Tämän jälkeen tietorakenteen muistialue lähetetään puskurimoduulille, joka jakaa tietorakenteen rekisteröityneille asiakassovelluksille. Paikkamoduulin käyttämä tietorakenne sisältää paikka- ja nopeustiedon sekä päivämäärä- ja aikatiedon. Paikkamoduuli tukee komentoviestejä, joilla voidaan käynnistää tai sammuttaa GPS-moduuli, sekä asettaa sen lähettämien paikkaratkaisuviestien taajuus välillä 1-10 Hz.

```

1  typedef struct gps_data {
2      uint8_t fix_valid; /* flag */
3      uint8_t date_valid; /* flag */

```

```

4     int32_t Latitude;    /* degrees * 1e7 */
5     int32_t Longitude; /* degrees * 1e7 */
6     float Altitude;    /* m */
7     float velN;        /* m/s */
8     float velE;        /* m/s */
9     float velD;        /* m/s */
10    float Groundspeed; /* m/s */
11    uint32_t GeoidSeparation;
12    int32_t Heading;    /* deg */
13    uint16_t year;
14    uint16_t month;
15    uint16_t day;
16    uint16_t updated;   /* flag */
17 } GPSPositionData;

```

Listaus 4.3: Paikkatietorakenne

4.2.4 Viestitysjärjestelmä

Mittausyksikkö voi keskustella kahden ulkoisen viestintäväylän kautta, jotka ovat USB- ja Bluetooth-liitäntä. USB-liitäntä toimii virtuaalisena sarjaväylänä, joka siirtää käytettyä viestipohjaista protokollaa tietokoneen ja mittausyksikön välillä. Sama viestipohjainen protokolla on käytössä myös Bluetooth-liitännän kanssa. Yhteistä molemmille viestintämedioille on käytetty yhteydetön viestintäprotokolla, joka on esitetty kappaleessa 4.2.4. Ulkoisten viestintäväylien lisäksi, samaa viestintäjärjestelmää käytetään prosessorin sisäisten säikeiden välisenä viestintäväylänä.

Viestintämoduulin tehtävänä on alustaa ja ohjata kaikkia käytettyjä ulkoisia viestintämedioita, joihin kuuluu USB-liitäntä, GPS- ja Bluetooth-laite ja muistikortti. Näistä GPS- ja Bluetooth-laitteet on kytketty kahteen erilliseen mikro-ohjaimen sarjaporttiväylään. Lisäksi viestintämoduuli osaa tulkita ulkoisista viestintäväylistä tulevaa sarjamuotoista tietoa protokollan mukaisiksi viesteiksi ja ohjata ne viestien reititystaulukon avulla oikeaan osoitteeseen. Tämän lisäksi viestintämoduuli sisältää funktiorajapinnan, joka helpottaa viestien lähettämistä. Viestintämoduuli on jaettu useaan säikeeseen, joista jokainen vastaa yhden ulkoisesta viestintäväylästä. Tällä toiminnan hajauttamisella pyritään estämään käyttöjärjestelmän lukkiintumisia, mikäli siirrettävät tietomäärät ovat suuria.

Viestintämoduulilla on lisäksi on tärkeä tehtävä yksilöimään mittausyksiköt, sillä jokainen Bluetooth-moduuli sisältää tehtaalta lähtiessään yksilöllisen MAC-osoitteen (Media Access Control). Viestintämoduuli lukee tämän osoitteen ja antaa laitteelle tunnistenumeron, jotka on esitetty taulukossa 4.1. Kirjoittamisen hetkellä laitteita on tehty seitsemän kappaletta.

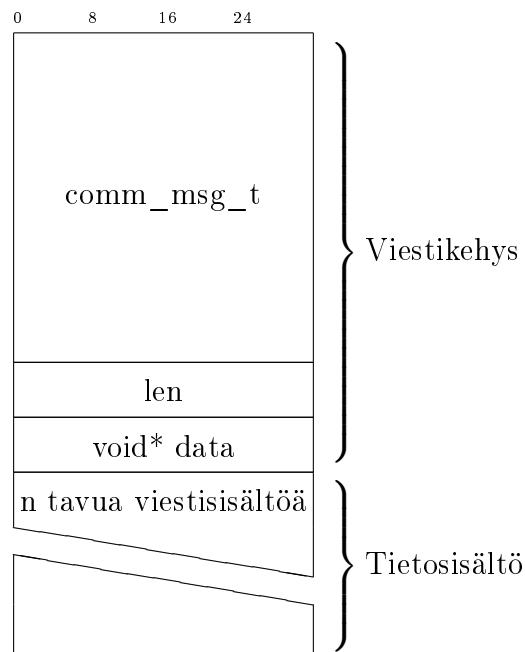
Taulukko 4.1: Mittausyksiköiden tunnistenumerot

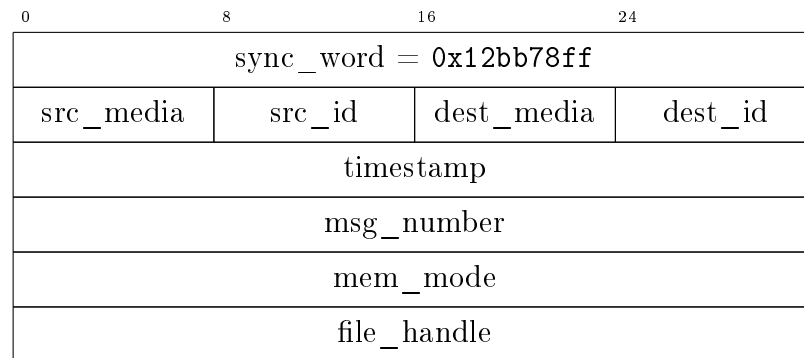
Bluetooth MAC-osoite	Tunnistenumero
00:06:66:4A:82:43	1
00:06:66:4A:83:4E	2
00:06:66:4A:83:4F	3
00:06:66:4F:F8:FB	4
00:06:66:4F:F8:F6	5
00:06:66:60:01:49	6
00:06:66:4F:F8:F7	7

Viestien kehysrakenne

Jokainen viestitusjärjestelmän viesti sisältää alkukehyksen ja sitä seuraavan varsinaisen tietosisällön. Tämänlainen viesti on esitetty kuvassa 4.3. Kuvassa esiintyy myös void-tyyppinen osoitin, joka on käytössä mittausyksikön sisäisessä toiminnassa. Keskustellessaan ulkoisen viestintäväylän kanssa, tämä kenttä ei ole käytössä. Viestikehyksen pituus on 32 tavua ja tietosisällön pituutta ei ole rajoitettu. Kuitenkin käytännön rajana on mikro-ohjaimen kekomuistin koko, joka asettaa maksimikoon muutamaan kilotavuun.

Viestikehyksen rakenne on esitetty kuvassa 4.4. Viestin alkukehys kertoo millainen tietosisältö viestissä on ja miten se tulee tulkita. Koska viestiprotokolla kulkee sarjamuotoisena ulkoisten viestitusmedioiden yli, tulee jokaisen viestin alku tunnistaa tuntemattomien tavujen joukosta. Tämä on toteutettu lisäämällä protokollaan synkronisointisana, joka on määritetty heksadesimaalinumeroksi 0x12bb78ff. Kun viestitulkki vastaanottaa onnistuneesta synkronisointisanan, osaa se vastaanottaa

Kuva 4.3: Viestin rakenne (`comm_msg_t`)



Kuva 4.4: Viestikehyksen rakenne (`comm_msg_hdr_t`)

lopun tavut oikein. Synkronisointisanaa seuraa neljä 8-bittistä kenttää, jotka sisältävät lähettävän ja vastaanottavan viestintämedian ja lähettävän ja vastaanottavan ohjelmistomoduulin. Jokainen viesti on lisäksi numeroitu kasvavasti ja aikaleimattu 32-bittisillä kentillä, joista timestamp-kenttä sisältää aikamoduulilta kysytyn GPS-ajan.

Kenttä `mem_mode` on käytössä ainoastaan viestitusmoduulin sisäisesti, ja kuvastaa millä tavalla viestitusmoduuli käsittelee tietosisällön muistialuetta. Koska viestitusjärjestelmän käyttökohteita on useita, esimerkiksi kilotavun kokoisen lohkon kirjoittaminen muistikortille työsäikeestä, tai muutaman tavun kokoisen viestisisällön lähettäminen keskeytyskontekstista, tulee viestitusjärjestelmän tukea useaa muistinkäsittelytapaa. Muistinkäsittelytapoja on yhteensä neljä, joista yleisin käytössä oleva on varaus ja kopiointi, joka varaa dynaamisesti uuden muistialueen mikro-ohjaimen kekomuistista ja kopioi viestiä rakennettaessa annetun tietosisällön uudelle alueelle. Tämän jälkeen viestiä lähettävä taho on vapaa käyttämään tietosisällön muistia miten haluaa ja viestitusjärjestelmä vapauttaa automaattisesti varatun muistialueen, kun viesti on lähetetty. Toinen muistinkäsittelytapa on staattinen käyttäjämisti, jolloin viestitusjärjestelmä lähettää annetun muistialueen, mutta ei tee mitään muuta. Tämän aikana käyttäjä ei saa koskea muistialueeseen, ja tämä tapa soveltuu esimerkiksi harvoin lähetettävään suurikokoiseen tietoon muistikortille. Kolmas tapa on käyttäjän dynaamisesti varaama muistialue kekomuistista. Viestin lähettämiskutsun jälkeen käyttäjä ei saa enää koskea muistialueeseen, ja viestitusjärjestelmä vapauttaa automaattisesti muistin kun viesti on lähetetty eteenpäin. Neljäs ja viimeinen tapa on käytössä, kun lähetetään pienikokoista tietosisältöä keskeytyskontekstista. Tällöin käytetään viestintämoduulin käynnistyessä esivarattua muistialuetta, jonka avulla vältetään dynaaminen muistinvarausoperaatio, mikä ei ole käytettävissä keskeytyksistä käsin.

Taulukossa 4.2 on esitetty `src_id`- ja `dest_id`-kenttien mahdolliset arvot. Ensimmäiset kahdeksan moduulinumeroa kuvastavat mittausyksikön sisäisiä ohjelmisto-

komponentteja, ja viimeiset neljä kuvastavat tietokoneelle tai tietokoneelta lähetettäviä viestityyppejä, jotka on tarkemmin kuvattu seuraavassa kappaleessa.

Taulukko 4.2: Moduulinumerot (`comm_module_id_e`)

Nimi	Arvo
ID_COMM	0
ID_STARTER	1
ID_GPS	2
ID_TIME	3
ID_BUFFERS	4
ID_APPS	5
ID_ACQ	6
ID_IRQ	7
ID_RUNTIME	8
NUMBER_OF_MODULES	9
PC_DEBUG	10
PC_NAV_SOLUTION	11
PC_SENSOR_DATA	12
MSG_CTRL	13

Taulukossa 4.3 on esitetty `src_media-` ja `dest_media-`kenttien mahdolliset arvot. Ensimmäiset neljä arvoa kuvastavat ulkoisia fyysisiä viestintäväyliä. Mittausyksikön sisäistä viestintäväylyä kuvataan arvolla `COMM_INTERNAL`.

Taulukko 4.3: Viestintämediat (`comm_media_e`)

Nimi	Arvo
COMM_VCOM	0x00
COMM_UART1	0x01
COMM_UART2	0x02
COMM_SDCARD	0x03
COMM_INTERNAL	0x04
COMM_PC	0x05

Viestityypit

Mittausyksikkö tukee neljää erilaista viestityyppiä, jotka on esitetty taulukon 4.2 neljänä viimeisenä moduulinumerona. Nämä numerot eivät varsinaisesti ole moduulinumeroita, vaan kuvastavat enemmän viestikanavaa tai viestityyppiä. Ne on lisätty moduulinumeroiden joukkoon sen vuoksi, ettei viestikehykseen tarvitse lisätä yhtä ylimääräistä viestityyppiä kuvaavaa kenttää.

Tulosteviesti

Tulosteviesti sisältää käyttäjän mikro-ohjaimelta tulostamaa dataa ASCII-muodossa (American Standard Code for Information Interchange). Tämä viestityyppi vastaa `PC_DEBUG`-arvoa taulukossa 4.2. Viestintämoduuli tarjoaa `printf`-tyylisen apufunktion tulosteviestien lähettämiseen. Tulosteviestien tärkein käyttökohde on ohjelmistokehityksen tukena auttamaan näkemään mitä mikro-ohjaimella tapahtuu.

0	8	16	24
get_set	target	command	query_resp
data[0]	data[1]	data[2]	data[3]
data[4]	data[5]		

Kuva 4.5: Ohjausviestin rakenne (`comm_msg_t`)

Tämän viestin varsinainen tietosisältö on nolla-terminoitu ASCII-muotoinen merkijono.

Mittaustietoviesti

Mittausyksikön eräänä käyttäjäsovelluksena on sovellus, joka kerää säännöllisin väliajoin tietoa anturimittauksista ja lähettää niitä viestinä eteenpäin tietokoneelle. Sovellus kerää useita mittauksia muistialueelle ja lähettää ne kerralla tietokoneelle. Usean mittauksen kerrallaan lähettämisen tavoitteena on pienentää viestikehyksien osuutta lähetetystä tietomäärästä. Sovellus lähettää viestin tietosisältönään listauksessa 4.1 esitettyjä tietorakenteita ja käyttää viestityyppinumeronaan taulukon 4.2 arvoa `PC_SENSOR_DATA`.

Ohjausviesti

Ohjausviesti on erityinen viestityyppi, jonka avulla ohjelmistomoduulien toimintaa voidaan ohjata. Ohjausviestit mahdollistavat esimerkiksi mittauksen aloittamisen tai GPS-laitteen paikannusten päivitysnopeuden asettamisen. Ohjausviestit kulkevat lähinnä ulkoisesta viestintämediasta laitteelle päin, mutta myös sisäisestä ohjelmistomoduulista muille sisäisille ohjelmistomoduuleille. Esimerkkinä laitteen sisällä kulkevista ohjauviesteistä on käynnistysmoduulin lähettämät viestit, jotka määrittävät antureiden ja GPS-laitteen lukunopeudet laitteen käynnistyessä.

Ohjausviesti on aina pituudeltaan 10 tavua, ja sen rakenne on esitetty kuvassa 4.5. Viestin neljä ensimmäistä tavua sisältävät tietoa pyydetyistä toiminnoista, ja niiden sisältö on kuvattu taulukossa 4.4. Loput kuusi tavua ovat käytössä tietosisältönä mikäli ohjausviesti asettaa esimerkiksi uudet antureiden lukunopeudet. Taulukko 4.4 kuvaa mahdolliset arvot neljälle ensimmäiselle kentälle. Kaikki taulukossa esiintyvät arvot eivät sovi keskenään yhteen, ja tuleville käyttäjälle lienee helpointa tutkia ohjelmakoodista tietyn moduulin sisäinen toteutus. Esimerkkinä ohjausviestistä voidaan mainita `ID_APPS` moduulinumeroon lähetetty viesti, joka sisältää seuraavat tavut: `CMD_SET`, `CMD_SD`, `CMD_FREQ`, `CMD_QUERY`, 100, 0, 0, 0, 0, 0. Tämä viesti asettaa muistikortille kirjoittavan käyttäjäsovelluksen päivittämään anturilukemat 100 Hz taajuudella.

Taulukko 4.4: Ohjausviestin sisältö (`ctrl_cmd_get_set_e`)

get_set	target	command	query_resp
CMD_GET = 0x00 CMD_SET = 0x01	CMD_NOT_USED = 0x00 CMD_KALMAN = 0x01 CMD_SD = 0x02	CMD_MODE = 0x00 CMD_FREQ = 0x01 CMD_VOLTAGE = 0x02 CMD_FIX = 0x03	CMD_QUERY = 0x00 CMD_RESP = 0x01

4.2.5 Tiedon tallennus muistikortille

Tiedon tallentamisesta muistikortille vastaa käyttäjäsovellus, joka rekisteröityy puskurimoduulin tarjoamaan rajapintaan ja hakee sieltä tasaisin väliajoin anturitietoa. Aluksi muistikortille kirjoitus toteutettiin ASCII-muotoisena merkkijonona, mutta tämän ratkaisun suorituskyky ei ollut riittävällä tasolla suuren tietomäärän takia, kun jokainen anturilukema pitää muuttaa liukulukumuodosta tekstimuotoon. Ratkaisuksi suorituskykyongelmaan muistikortille kirjoitetaan tiedot binäärimuodossa.

Kirjoitusformaatti

Muistikortille kirjoitettava tietopaketti tukee anturimittauksia ja supistettua GPS-paikkamittausta. Ongelma tiedontallennusformaatin tekemisessä on, että eri antureilta ja paikkamoduulilta saadaan mittauksia eri tahdissa. Muistikorttisovelluksen tiedonkeruun ajanjaksona on tyypillistä että kiihtyvyyssanturin mittauksia tulee kolme kertaa enemmän kuin gyron mittauksia, ja normaalisti vain joka kymmenenteen tiedonkeruujaksolle osuu GPS-paikkapäivitys. Tämä ongelma on ratkaistu muodostamalla listauksessa 4.4 esiintyvä tietopakettien alkukehys, joka sisältää tiedon montako anturimittausta tietopaketissa on ja esiintyykö siinä yhtäkään GPS-paikkamittausta. Mikäli GPS-mittaus löytyy tietopaketista, se sijaitsee aina viimeisenä tietosisällön tietorakenteena. Kentät `meas_amount` ja `gps_existent` kuvastavat näitä arvoja.

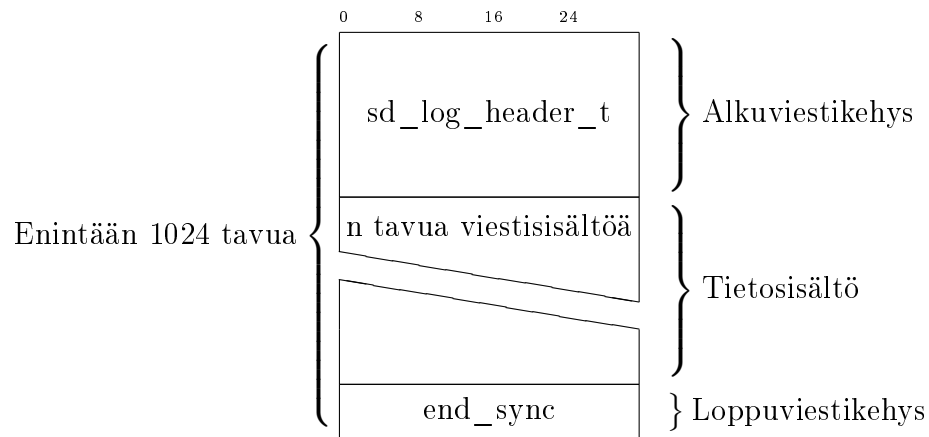
```

1  typedef struct sd_log_header {
2      uint32_t start_word;
3      uint32_t timestamp;
4      uint8_t meas_amount;
5      uint8_t gps_existent;
6      uint8_t kalman_existent;
7      uint8_t pad_byte;
8  } sd_log_header_t;

```

Listaus 4.4: Muistikortin mittaustietopakettien alkukehys

Kuvassa 4.6 on esitetty kokonaisen tietopakettien rakenne. Tietopakettien koko on rajattu yhteen kilotavuun ja aina, kun tämä raja tulee täyteen, lähetetään tietorakenne



Kuva 4.6: Muistikorttiformaatin rakenne

muistikortille. Muistikortille kirjoituksen aikana samaa muistialuetta ei voi käyttää, ja tästä syystä sovellus osaa automaattisesti vaihtaa toiseen esivarattuun muistialueeseen. Yhteensä näitä esivarattuja kilotavun muistialueita on seitsemän kappaletta, joten sovelluksella on seitsemän kilotavun puskuri muistikortille kirjoittamisessa. Binäärimuotoinen tietopaketti muutetaan tietokoneohjelmalla ASCII-muotoiseksi tekstitiedostoksi, joka voidaan lukea esimerkiksi Matlab-ohjelmassa. Jotta tietokoneen tulkki osaa etsiä yhden kokonaisen tietopakettin binäärimuotoisesta tietovirrasta, sisältää yksi tietopaketti alku- ja loppusynkronointisanan.

Tietopakettin varsinainen tietosisältö sisältää listauksessa 4.1 esiintyviä mittaus-tietorakenteita ja listauksessa 4.5 esiintyviä tyypistettyjä GPS-paikkaratkaisurakenteita.

```

1  typedef struct sd_log_gps {
2      int32_t Latitude; /* degrees * 1e7 */
3      int32_t Longitude; /* degrees * 1e7 */
4      float Groundspeed; /* m/s */
5  } sd_log_gps_t;

```

Listaus 4.5: Muistikortin GPS-tietorakenne

Parseriohjelma tietokoneella

Tietokoneella ajettava binäärimuotoisen mittaustiedoston purkuohjelma on toteutettu Python-kielellä. Tietoformaatin tulkkausalgoritmi on esitetty listauksessa 4.6.


```

1  Etsi aloitussynkronointi
2  Lue tavuja muistiin niin kauan kunnes lopetussynkronointi löytyy
3  Lue alkukehyksen aikaleima
4  Lue kentät meas_amount, gps_existent ja kalman_existent
5  Lue tavuista meas_amount määrä tietorakennetta measurement_t
6  Mikäli lippu gps_existent on asetettu, lue tietotyyppi sd_log_gps_t
7  Merkitse tavut käytetyksi ja palaa kohtaan 1

```

Listaus 4.6: Algoritmi muistikortin tietformaatin tulkitsemiseksi

4.2.6 Sovellusrajapinta

Sovellukset ovat laitteessa ajettavia algoritmeja, jotka käyttävät reaaliaikaista anturitietoa ja laskevat siitä esimerkiksi laitteen asennon. Laitteen ohjelmistokomponentit tarjoavat useita rajapintoja, joiden avulla käyttäjä voi toteuttaa sovelluksensa laitteeseen. Seuraavissa kappaleissa esitellään nämä rajapinnat ja annetaan käyttöesimerkkejä.

Rekisteröityminen anturitietoon

Sovellus pääsee käsiksi mittausdataan rekisteröitymällä puskurimoduuliin, joka palauttaa sovellukselle uusimmat mittaukset sisältävän tietorakenteen. Tämä tietorakenne sisältää jokaiselle anturille yksipaikkaisen FreeRTOS-jonon, jonka kautta pääsee käsiksi uusimman mittauksen muistialueeseen. Mikäli jono on jo tyhjä, tarkoittaa se että edellisen lukukerran jälkeen anturilta ei ole kysytty uutta mittausta. Tämä tietorakenne on esitetty listauksessa 4.7.

```

1  typedef struct buff_data {
2      xQueueHandle acce;
3      xQueueHandle magn;
4      xQueueHandle gyro;
5      xQueueHandle baro;
6      xQueueHandle gps;
7  } buff_data_t;

```

Listaus 4.7: Mittaustietorakenne

Seuraavana on esitelty puskurimoduulin funktiorajapinta, joita käyttämällä asiakasovellus pääsee käsiksi anturitietoon.

Esittely	<code>buff_data_t* buff_register(void)</code>
Selitys	Asiakassovellukset voivat käyttää tätä funktiota rekisteröityäkseen puskurimoduuliin. Funktiokutsun palauttaman tietorakenteen avulla sovellukset pääsevät käsiksi anturitietoon ja GPS-paikkaratkaisuihin.
Parametrit	-
Palautusarvo	Osoitin <code>buff_data_t</code> -rakenteeseen.

Esittely	<code>uint32_t buff_unregister(buff_data_t** data)</code>
Selitys	Kutsumalla funktiota asiakassovellus voi poistaa itsensä puskurimoduulien palveltavien asiakkaiden listasta. Kutsun jälkeen parametrina annettu osoitin ei ole enää käytettävissä.
Parametrit	<code>data</code> Osoitin <code>buff_data_t</code> -rakenteeseen.
Palautusarvo	Palauttaa numeron 1, mikäli operaatio on onnistunut.

Esittely	<code>uint32_t buff_free_memory(buff_item_t** b_item)</code>
Selitys	Asiakassovelluksen tulee kutsua tätä funktiota anturitiedon käyttämisen jälkeen. Funktiokutsun jälkeen anturitiedon käyttämä muistialue merkitään vapaaksi ja sen sisältöä ei voi enää käyttää.
Parametrit	<code>b_item</code> Osoitin <code>buff_item_t</code> -rakenteeseen.
Palautusarvo	-

Listauksessa 4.8 on esitetty käyttöesimerkki puskurimoduulin tyypillisestä käytöstä. Siinä asiakas rekisteröityy puskurimoduuliin ja saa sieltä paluuarvokseen osoitimen listauksen 4.7 mukaisen tietorakenteeseen. Käyttämällä tämän tietorakenteen jonoja FreeRTOS-jonofunktion `xQueueReceive()` kautta, voi asiakas kysellä viimeimmän mittausdatan kultakin anturityypiltä. Jono sisältää listauksen 4.2 mukaisia puskuritietorakenteita, joiden kautta varsinaiseen mittaustietoon pääsee käsiksi.

```

1  /* Rekisteröidy puskurimoduulin tietovirtaan */
2  buff_data_t* sd_buff = buff_register();
3
4  buff_item_t* b_item = NULL;
5
6  /* Lue FreeRTOS-jonosta buff_item-tyyppinen osoitin. */
7  if ( xQueueReceive(sd_buff->acce, &b_item, 0) == pdTRUE ) {
8      /* Prosessori kiihtyvyyksianturin uusin anturilukema */
9      process_acce_data(b_item->meas.f_payload);
10
11     /* Merkitse käytetty muistiyksikkö vapaaksi */
12     buff_free_memory( &b_item );

```

```

13 }
14
15 /* Poista rekisteröinti puskurimoduulista */
16 uint32_t error = buff_unregister(sd_buff);

```

Listaus 4.8: Käyttöesimerkki

Rekisteröityminen aikakutsuihin

Aikamoduuli tarjoaa sovellukselle ajoituksiin liittyviä palveluita. Sovellus voi rekisteröityä säännöllisiin aikakutsuihin, jotka toimivat takaisinkutsufunktioiden avulla. Takaisinkutsufunktiota kutsutaan keskeytyskontekstista, joten siellä ei voi tehdä aikaa vieviä operaatioita. Palvelu kuitenkin soveltuu esimerkiksi ajan mittaamiseen tai työsäikeen herättämiseen. Aikakutsujen parametrit asetetaan listauksessa 4.9 esitetyllä tietorakenteella. Tämä tietorakenteen ensimmäinen kenttä `target_interval_ms` sisältää käyttäjän pyytämän aikakutsujen aikavälin millisekunneissa. Seuraava kenttä sisältää aikakutsupalvelun sisäisesti käyttämän kentän `current_ms`, joka kertoo montako millisekuntia on kulunut viimeisimmästä aikakutsusta. Viimeinen kenttä `number_to_send` sisältää numeron, joka lähetetään takaisinkutsufunktiolle. Tämän numeron avulla yksi takaisinkutsufunktio voi palvella useaa aikakutsua.

```

1 typedef struct time_timeout_ctrl {
2     uint32_t target_interval_ms;
3     uint32_t current_ms;
4     uint32_t number_to_send;
5 } time_timeout_t;

```

Listaus 4.9: Käyttöesimerkki

Seuraavissa taulukoissa on esitelty aikamoduulin aikakutsupalvelun rajapintafunktiot. Funktioita on palveluun rekisteröitymiseen, aikakutsujen muokkaamiseen ja palvelusta poistumiseen.

Esittely	<code>uint32_t time_register(time_cb callback_func, time_timeout_t* timeouts, uint32_t num)</code>						
Selitys	Asiakassovellukset voivat rekisteröityä aikapalvelumoduuliin tämän funktion avulla. Funktiokutsun jälkeen aikamoduuli kutsuu käyttäjän ilmoittamaa takaisinkutsufunktiota säännöllisin väliajoin.						
Parametrit	<table> <tr> <td><code>callback_func</code></td> <td>Takaisinkutsufunktio, joka on tyyppiä <code>typedef void (*time_cb)(uint32_t)</code></td> </tr> <tr> <td><code>timeouts</code></td> <td>Tietorakennetaulukko, joka sisältää tiedon palveltavista aikakutsuista</td> </tr> <tr> <td><code>num</code></td> <td>Aikapyyntöarakenteiden lukumäärä taulukossa</td> </tr> </table>	<code>callback_func</code>	Takaisinkutsufunktio, joka on tyyppiä <code>typedef void (*time_cb)(uint32_t)</code>	<code>timeouts</code>	Tietorakennetaulukko, joka sisältää tiedon palveltavista aikakutsuista	<code>num</code>	Aikapyyntöarakenteiden lukumäärä taulukossa
<code>callback_func</code>	Takaisinkutsufunktio, joka on tyyppiä <code>typedef void (*time_cb)(uint32_t)</code>						
<code>timeouts</code>	Tietorakennetaulukko, joka sisältää tiedon palveltavista aikakutsuista						
<code>num</code>	Aikapyyntöarakenteiden lukumäärä taulukossa						
Palautusarvo	-						

Esittely	<code>uint32_t time_change_timeout(time_cb callback_func, time_timeout_t* timeouts, uint32_t num)</code>						
Selitys	Tämä funktio muuttaa jo olemassa olevan rekisteröinnin parametreja. Tämän funktion avulla voidaan muuttaa aikakutsujen määrää ja taajuutta.						
Parametrit	<table> <tr> <td><code>callback_func</code></td> <td>Takaisinkutsufunktio, joka on tyyppiä <code>typedef void (*time_cb)(uint32_t)</code></td> </tr> <tr> <td><code>timeouts</code></td> <td>Tietorakennetaulukko, joka sisältää tiedon palveltavista aikakutsuista</td> </tr> <tr> <td><code>num</code></td> <td>Aikapyyntöarakenteiden lukumäärä taulukossa</td> </tr> </table>	<code>callback_func</code>	Takaisinkutsufunktio, joka on tyyppiä <code>typedef void (*time_cb)(uint32_t)</code>	<code>timeouts</code>	Tietorakennetaulukko, joka sisältää tiedon palveltavista aikakutsuista	<code>num</code>	Aikapyyntöarakenteiden lukumäärä taulukossa
<code>callback_func</code>	Takaisinkutsufunktio, joka on tyyppiä <code>typedef void (*time_cb)(uint32_t)</code>						
<code>timeouts</code>	Tietorakennetaulukko, joka sisältää tiedon palveltavista aikakutsuista						
<code>num</code>	Aikapyyntöarakenteiden lukumäärä taulukossa						
Palautusarvo	-						

Esittely	<code>uint32_t time_unregister_timeout(time_cb callback_func)</code>		
Selitys	Tämä funktio poistaa asiakassovelluksen rekisteröinnin aikamoduulista. Funktiokutsun jälkeen aikakutsuja ei enää tapahdu.		
Parametrit	<table> <tr> <td><code>callback_func</code></td> <td>Takaisinkutsufunktio, joka on tyyppiä <code>typedef void (*time_cb)(uint32_t)</code></td> </tr> </table>	<code>callback_func</code>	Takaisinkutsufunktio, joka on tyyppiä <code>typedef void (*time_cb)(uint32_t)</code>
<code>callback_func</code>	Takaisinkutsufunktio, joka on tyyppiä <code>typedef void (*time_cb)(uint32_t)</code>		
Palautusarvo	-		

Listaus 4.10 sisältää esimerkin aikakutsupalveluun liittymisestä. Tässä esimerkissä ilmenee miten aikakutsupalveluilla voidaan herättää FreeRTOS-pohjainen työsäie säännöllisin väliajoin. Funktio `apps_init` luo työsäikeen ja rekisteröi takaisinkutsufunktion `apps_timeout_cb` ajastinpalveluihin. Ajastinpalvelulle annetaan parametrit tietorakenteella `timeout_param`, joka aiheuttaa takaisinkutsufunktion kut-

sumisen 20 millisekunnin välein. Takaisinkutsufunktio suoritetaan keskeytyspalvelijan kontekstissa, joten se vain herättää työsäikeen lisäämällä numeron jonoon `worker_wakeup_queue`. Varsinainen työ tullaan tekemään työsäikeessä `apps_worker_task`, joka siirretään suoritukseen heti kun jonoon on tullut elementti.

```

1  /* Globaalit muuttujat */
2  time_timeout_t timeout_param = { .target_interval_ms = 20,
3                                  .current_ms = 0,
4                                  .number_to_send = 0 };
5  xQueueHandle worker_wakeup_queue = NULL;
6
7  void apps_init(void) {
8      xTaskCreate(apps_worker_task, "apps_worker", 384, NULL,
9                 configMAX_PRIORITIES - 1, NULL);
10     worker_wakeup_queue = xQueueCreate( 1, sizeof(uint32_t) );
11
12     /* Rekisteröinti aikakutsupalveluun */
13     time_register(apps_timeout_cb, &timeout_param, 1);
14 }
15
16 void apps_timeout_cb(uint32_t num) {
17     portBASE_TYPE xHigherPriorityTaskWoken = 0;
18     xQueueSendFromISR(worker_wakeup_queue, &num,
19                       &xHigherPriorityTaskWoken);
20 }
21
22 void apps_worker_task(void *pvParameters) {
23     for (;;) {
24         uint32_t timeout_id;
25         if( xQueueReceive(worker_wakeup_queue, &timeout_id,
26                           portMAX_DELAY) == pdTRUE ) {
27             /* Tätä koodia kutsutaan tasaisin väliajoin */
28         }
29     }
30 }

```

Listaus 4.10: Käyttöesimerkki

Sovellustiedon tallennus

Viestintämoduuli sisältää funktiorajapinnan tiedoston luomiselle tai avaamiselle muistikortille ja siihen kirjoittamiseen. Tämä rajapinta on esitetty seuraavissa taulukoissa.

Esittely	<code>file_handle_t* comm_open_file(char* filename, uint8_t mode)</code>
Selitys	Asiakassovellukset voivat luoda uuden tiedoston tai avata jo olemassa olevan tiedoston tällä funktiolla.
Parametrit	<code>filename</code> Tiedoston nimi nolla-terminoituna merkkijonona <code>mode</code> Tiedoston avaamisparametrit
Palautusarvo	Osoitin <code>file_handle_t</code> tyyppiseen tiedostokahvaan
Esittely	<code>void comm_sd_send_data(file_handle_t* fd, void* data, uint32_t len)</code>
Selitys	Tämä funktio kirjoittaa osoittimen päässä olevan datan tiedostoon. Funktio toimii ainoastaan mikäli annettu tiedostokahva on avattu.
Parametrit	<code>fd</code> Osoitin tiedostokahvaan <code>data</code> Osoitin tiedostoon kirjoitettavaan tietoon <code>len</code> Kirjoitettavien tavujen määrä
Palautusarvo	-
Esittely	<code>void comm_close_file(file_handle_t* fd)</code>
Selitys	Sulkee avoimaisen tiedoston.
Parametrit	<code>fd</code> Osoitin avonaiseen tiedostokahvaan
Palautusarvo	-

Listauksessa 4.11 on esitetty miten viestintämoduulin tiedostopalvelua käytetään. Ensin käyttäjän tulee esitellä `file_handle_t`-tyyppinen osoitin, johon pyydetään avonainen tiedostokahva funktiolla `comm_open_file()`. Tämän jälkeen käyttäjä voi kirjoittaa avaamaansa tiedostoon funktiolla `comm_sd_send_data()`, jonka parametreina on avattu tiedostokahva, osoitin kirjoitettavaan tietoon ja tiedon pituus tavuissa. Lopuksi käyttäjän tulee sulkea tiedosto kutsumalla funktiota `comm_close_file()`. Mikäli käyttäjä ei sulje tiedostoa ennen kuin mittausyksikkö sammutetaan, kaikki tiedostoon kirjoitettu sisältö katoaa.

```

1  /* Alustettu merkkijono */
2  char esim_str[7] = "tietoa";
3
4  /* comm_sd.h:ssa esitelty tietorakenne */
5  file_handle_t* apps_fd = NULL;
6
7  /* Luo uusi tiedosto, jonka nimi on sovellustietoa.txt */
8  apps_fd = comm_open_file("sovellustietoa.txt", FA_CREATE_NEW|FA_WRITE);
9
10 /* Lähetä edellämääritelty merkkijono tiedostoon */

```

```
11 comm_sd_send_data(apps_fd, esim_str, strlen(esim_str));
12
13 /* Sulje tiedosto */
14 comm_close_file(apps_fd);
```

Listaus 4.11: Käyttöesimerkki

5. KALIBROINTI JA TESTAUS

5.1 Kalibrointi

5.1.1 Virhemallit

Kuvassa 5.1 on esitetty virhemalli, jossa anturimittaus \mathbf{y} korjataan matriisilla \mathbf{S} ja vektorilla \mathbf{b} . Lopputuloksena saadaan kalibroitu mittausta \mathbf{u} . Anturin lukemaan vaikuttaa akselin skaalauskerroin, akseleiden välinen ristikuuluvuus ja niiden poikkeama nollakohdasta. Matriisilla \mathbf{S} korjataan kaksi ensimmäistä virhelähdettä ja vektorilla \mathbf{b} korjataan poikkeama seuraavasti

$$\mathbf{u} = \mathbf{S}(\mathbf{y} - \mathbf{b}) \quad , \text{ jossa } \mathbf{S} = \begin{bmatrix} S_{xx} & S_{xy} & S_{xz} \\ S_{xy} & S_{yy} & S_{yz} \\ S_{xz} & S_{yz} & S_{zz} \end{bmatrix} , \mathbf{b} = \begin{bmatrix} b_x \\ b_y \\ b_z \end{bmatrix} . \quad (5.1)$$

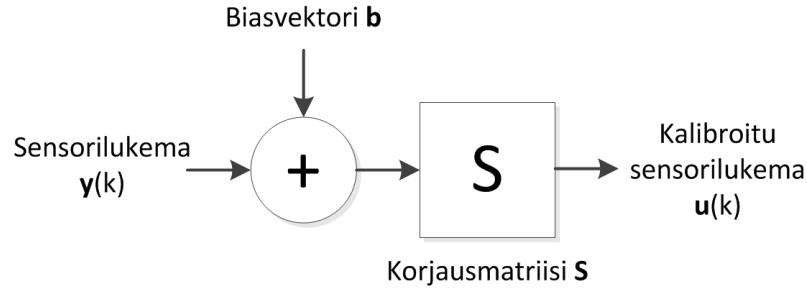
5.1.2 Pyörityspöytä ja kalibrointikuutio

Kalibrointimittaus suoritetaan pyörityspöydän avulla, jonka tavoitteena on asettaa mittausyksikkö tunnettuihin asentoihin tai pyörittää mittausyksikköä tunnetulla kulmanopeudella.

Pyörityspöytä on Velmexin valmistama BTS5990 [19], joka sisältää askelmoottorin ja suhteella 90:1 laskevan kulmavaihteen. Mittauksissa käytetyn askelmoottorin kanssa kokonaiseen kierrokseen kuluu 36000 askelta, jolloin yksi askel kääntää pyöritystasoa 0,01 astetta. Käytetty askelmoottorihjain on Velmex VXM [18], joka on mahdollista ohjelmoida RS-232 -väylän (Recommended Standard 232) kautta. Pyörityspöytään on lisäksi kiinnitetty alumiinikuutio, joka mahdollistaa mittausyksikön kiinnittämisen kolmeen asentoon kuution eri sivuille.

5.1.3 Kalibrointialgoritmit

Kalibrointimittaukset koostuvat kolmesta erillisestä mittauksesta, joiden välillä mittausyksikön asentoa vaihdetaan alumiinikuutiossa – tämän avulla antureiden jokaiselta akselilta saadaan mittausdataa. Jokainen mittausta asettaa kiihtyvyyssanturin neljään esimääritelyyn asentoon. Tällöin kiihtyvyyssanturin antama lukema asennossa n on \mathbf{y}_n ja esimääritellyn asennon oletettu lukema on \mathbf{a}_n . Koska mittauksia on



Kuva 5.1: Antureiden virhemalli

kolme ja asentoja neljä, saadaan kiihtyvyyssanturin lukemia yhteensä 12 kappaletta.

Käytetty kalibrointialgoritmi on esitetty lähteessä [20]. Algoritmi perustuu kumulatiivisen virhefunktion muodostamiseen tunnetuista mittauksista. Virhefunktio muodostetaan kaavan 5.1 avulla vähentämällä siitä oletettu anturilukema \mathbf{a}_n . Mikäli tämä funktio palauttaa arvon nolla, vastaa anturilukema esimääritellyn asennon oletettua lukemaa. Lisäämällä jokaisen lukeman n mittaukset yhteen, saadaan virhefunktioiksi kiihtyvyyssanturin tapauksessa seuraava kaava:

$$\mathbf{e}_a = \begin{cases} \sum_{n=1}^{12} [\mathbf{S}_a(\mathbf{y}_n - \mathbf{b}_a) - \mathbf{a}_n] \\ \sum_{n=1}^{12} [||\mathbf{S}_a(\mathbf{y}_n - \mathbf{b}_a)|| - a_g] \end{cases} . \quad (5.2)$$

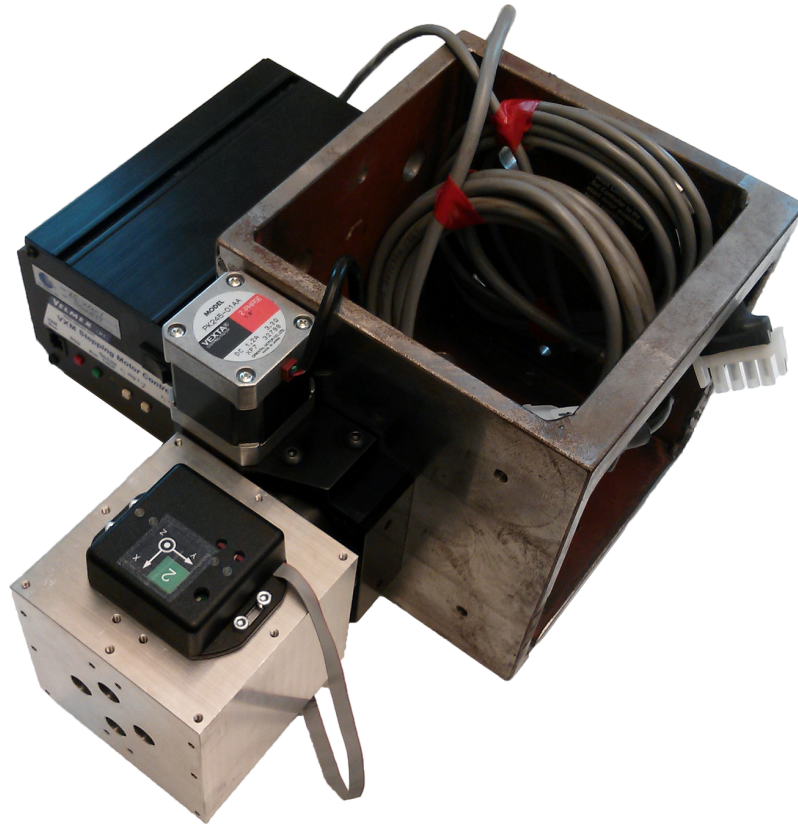
Vastaavasti gyroskoopin tapauksessa saadaan seuraava kaava

$$\mathbf{e}_\omega = \begin{cases} \sum_{n=1}^9 [\mathbf{S}_\omega(\mathbf{y}_n - \mathbf{b}_\omega) - \boldsymbol{\omega}_n] \\ \sum_{n=1,4,7} [||\mathbf{S}_\omega(\mathbf{y}_n - \mathbf{b}_\omega)|| - \omega_0] \end{cases} . \quad (5.3)$$

Tällä kertaa mittauksia on vain yhdeksän kappaletta, joten $n = 1..9$. Virhefunktiot voidaan minimoida esimerkiksi Matlabin `fsolve`-työkalun avulla. Lopputuloksena `fsolve` palauttaa ne kalibrointivakioiden arvot, joiden avulla anturin virhettä kuvaava summafunktio saavuttaa pienimmän arvonsa.

5.1.4 Tulokset

Kuvassa 5.3 on esitetty yhden mittausyksikön kalibrointimittaus kahden akselin suhteen. Kuvasta ilmenee, että mittausyksikköä on ensin pyöritetty z -akselin suhteen kulmanopeudella $30^\circ/\text{s}$ viiteen eri asentoon aikajaksolla 0-1800 s. Tämän jälkeen mittausyksikköä on pyöritetty vastakkaiseen suuntaan kulmanopeudella $60^\circ/\text{s}$ sitten, että mittausyksikön alkuasento on sama kuin mittauksen lähtötilanteessa. Kulmanopeudet kuvaajassa on esitetty yksikössä radiaania sekunnissa. Yhden akselin mittauksen jälkeen, mittaus on katkaistu ja mittausyksikkö on siirretty toiselle alu-



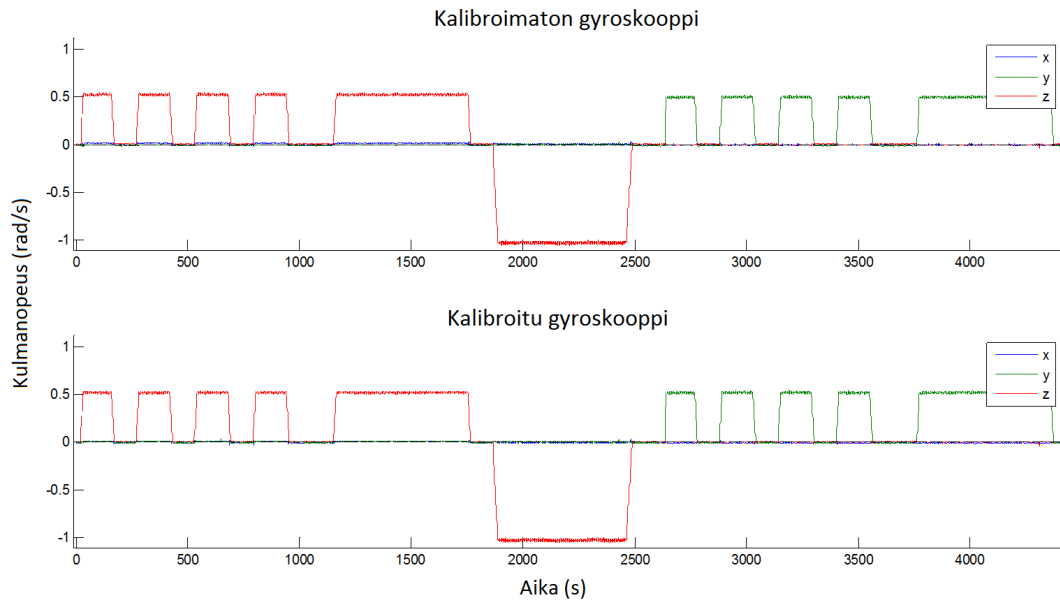
Kuva 5.2: Mittausjärjestely antureiden kalibrointiin

miinikuution sivulle siten, että mittausyksikkö pyörii nyt y-akselin suhteen. Nämä kaksi mittausta on liitetty peräkkäin, että koko mittaustilanne saadaan esitettyä kuvaajassa. Toisen akselin mittaus löytyy aikajaksolta 2500-5000 s.

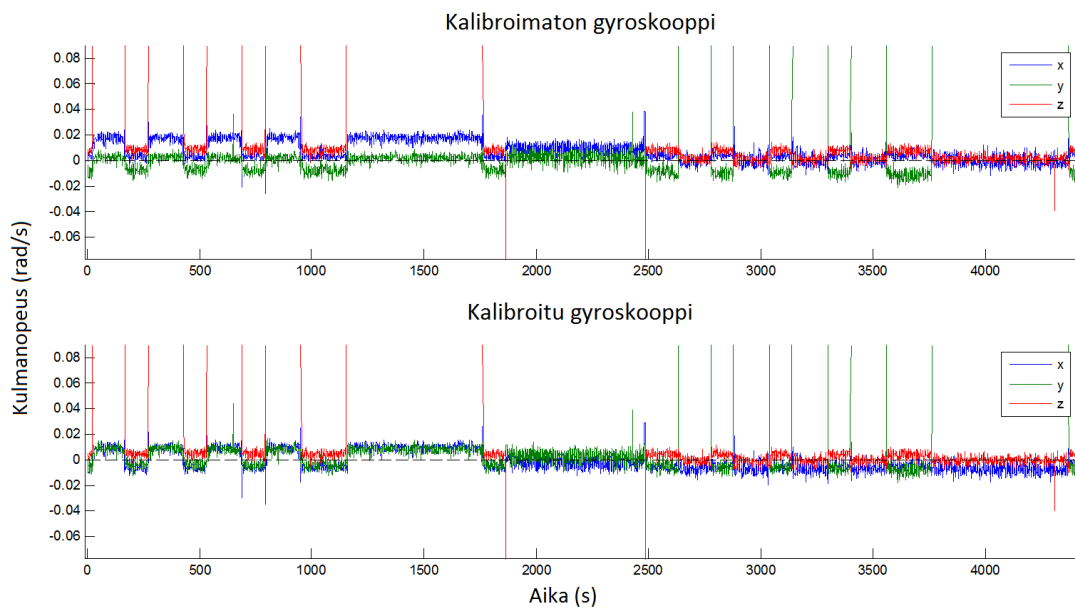
Kuva 5.4 esittää samaa mittausta kuin aikaisemminkin, mutta tällä kertaa tarkastellaan vain pieniä kulmanopeuksia. Gyroskoopin liittäminen piirilevylle ja gyroskoopin sisäinen rakenne aiheuttavat akselien välistä ristikuuluvuutta, joka näkyy selvästi ylemmästä kuvaajasta mittausyksikön pyöriessä. Tällöin z-akselin kokema kulmanopeus näkyy myös muuttuvina x- ja y-akselin arvoina. Ylemmästä kuvaajasta huomataan myös kaikkien akseleiden poikkeama nollakohdasta mittausyksikön ollessa paikallaan.

Kuvan 5.4 alemmasta kuvaajasta huomataan, miten kalibrointivakioiden käyttöönotto vaikuttaa ristikuuluvuuteen ja poikkeamaan nollakohdasta. Akseleiden välinen ristikuuluvuus on vähentynyt, mutta se ei ole kokonaan poistunut. Poikkeama nollakohdasta on nyt myös vähentynyt, ja se on nyt tasaisemmin jakautunut nollakohdan molemmille puolille.

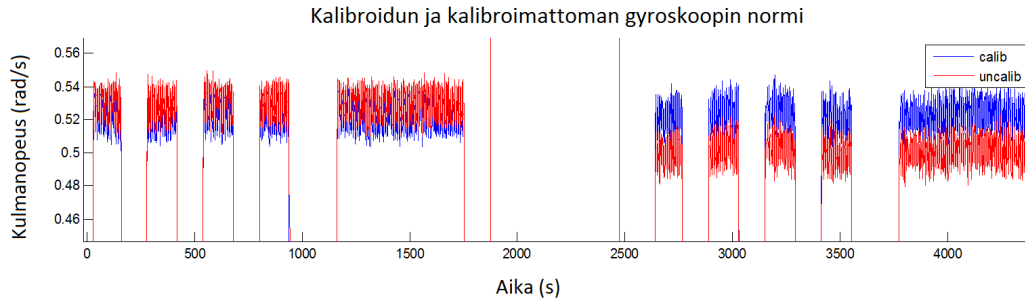
Aikaisemmista kuvista kävi ilmi kahden virhetekijän pieneneminen kalibrointivakioiden käyttöönoton jälkeen. Nämä olivat akselien ristikuuluvuus ja poikkeama nollakohdasta. Kolmas virhetekijä on akselin skaalauskerroin, joka ilmenee pyöritettäessä mittausyksikköä tunnetulla vakionopeudella. Ennen kalibrointia mittausyk-



Kuva 5.3: Gyroskoopin kalibroinnin tulokset



Kuva 5.4: Gyroskoopin kalibroinnin tulokset pienellä kulmanopeudella



Kuva 5.5: Gyroskoopin kalibroinnin tulokset suurella kulmanopeudella normitettuna

sikön eri akselien ilmaisemat kulmanopeudet eroavat tästä tunnetusta kulmanopeudesta. Kuva 5.5 esittää miten mittausyksikkö toimii ennen ja jälkeen kalibroinnin tässä tilanteessa. Mittausyksikön kulmanopeudet on normitettu ja piirretty päällekkäin, jotta kalibroinnin vaikutus saadaan selkeästi esiin. Punainen käyrä esittää kalibroimatonta tilannetta ja sininen käyrä tilannetta kalibroinnin jälkeen. Kuten aikaisemmissakin kuvissa, mittausyksikköä on pyöritetty z-akselin suhteen aikajaksoilla 0-2500 s ja y-akselin suhteen ajanjaksolla 2500-5000 s.

Kuvaajasta huomataan että kyseisen mittausyksikön z-akselin skaalauskerroin on ollut hyvin lähellä oikeaa, mutta y-akselin skaalaus on ollut liian pieni. Kalibroinnin jälkeen molempien akseleiden kulmanopeudet ovat lähellä oikeaa, eli 0,523 rad/s joka vastaa pyöritysnopeutta 30 °/s.

5.2 Testaus

Kalibroinnin lisäksi laitetta on testattu useissa eri käyttöympäristöissä ja -kohteissa. Näistä ensimmäisenä käyttökohteena voidaan mainita moottoripyörämittaukset Tampereen keskustassa. Mittausten tarkoituksena oli saada kiihtyvyyssanturilta ja gyroskoopilta referenssidataa värinäisestä ajotilanteesta mukulakivetyksellä. Mittaus-tilanteessa kuljettajan kypärään, selkään ja moottoripyörän takaosaan on kiinnitetty mittausyksiköt, joiden aika on tahdistettu GPS:n avulla. Usean mittausyksikön mittaukset käynnistettiin ja sammutettiin samanaikaisesti matkapuhelimella Bluetooth-yhteyden yli. Kuvassa 5.6 on esitetty mittausyksiköiden sijoitus. Kuvassa ei näy kuljettajan selkään kiinnitettyä kolmatta mittausyksikköä. Mittausyksiköt suoriutuivat hyvin kahdesta noin kymmenen minuutin mittaisesta mittausjaksosta ja niistä saatua tietoa on käytetty ajotapaluokittelijan kehittämisessä.

Toisena mittauskohteena esitellään nuken tiputusmittaukset Tampereen Hervannassa. Mittaus-tilanteessa noin 80 kilon painoiseen paininukkeeseen on kiinnitetty kaksi mittausyksikköä päähän sekä selkään, joka on esitetty kuvassa 5.7. Mittausyksiköiden kellot on tahdistettu GPS:n avulla. Mittauksen tavoitteena on saada kiihtyvyyssanturilta ja gyroskoopilta referenssidataa siitä, kun nukkea tiputetaan 1-2 metrin



(a) Kypärässä

(b) Moottoripyörän takaosassa

Kuva 5.6: Mittausyksikön sijoittelut moottoripyörämittauksissa

korkeudesta maahan. Kokeen tarkoituksena on mallintaa mitä moottoripyöräkuljettajalle tapahtuu törmäystilanteessa. Mittausyksiköt suoriutuivat rajusta mittaustilanteesta hyvin, ja mittauksesta saatua tietoa on käytetty ajatapaluokittelijan kehittämisessä.

Mittausyksikön suorituskykyä on mitattu käyttämällä apuna OpenPilot-projektissa kehitettyä Kalman-suodinta [22]. Suotimen tehtävänä on yhdistää kiihtyvyyssanturin, magnetometrin, gyroskoopin ja GPS-laitteen antama tieto ja poistaa siitä kohinaa ja häiriöitä. Suodin antaa ulostulona tilastollisesti parhaan arvion mittausyksikön asennosta ja sijainnista. Kalman-suodin on matemaattisesti raskas algoritmi, joten se soveltuu hyvin mittausyksikön suorituskyvyn mittaamiseen. Kuvassa 5.8 on esitetty suotimen käyttämä prosessoriaika päivitysnopeuksilla 25, 50 ja 75 Hz. Kuvaajan aineisto on kerätty FreeRTOS-käyttöjärjestelmän palveluilla, joilla yksittäisen säikeen käyttämä suoritinaikaa voidaan mitata. Jokaista tapausta on suoritettu noin kymmenen minuuttia mittausyksikössä.

Kuvasta huomataan, että Kalman-suotimen päivitysnopeuden kasvaessa, sen vaa-

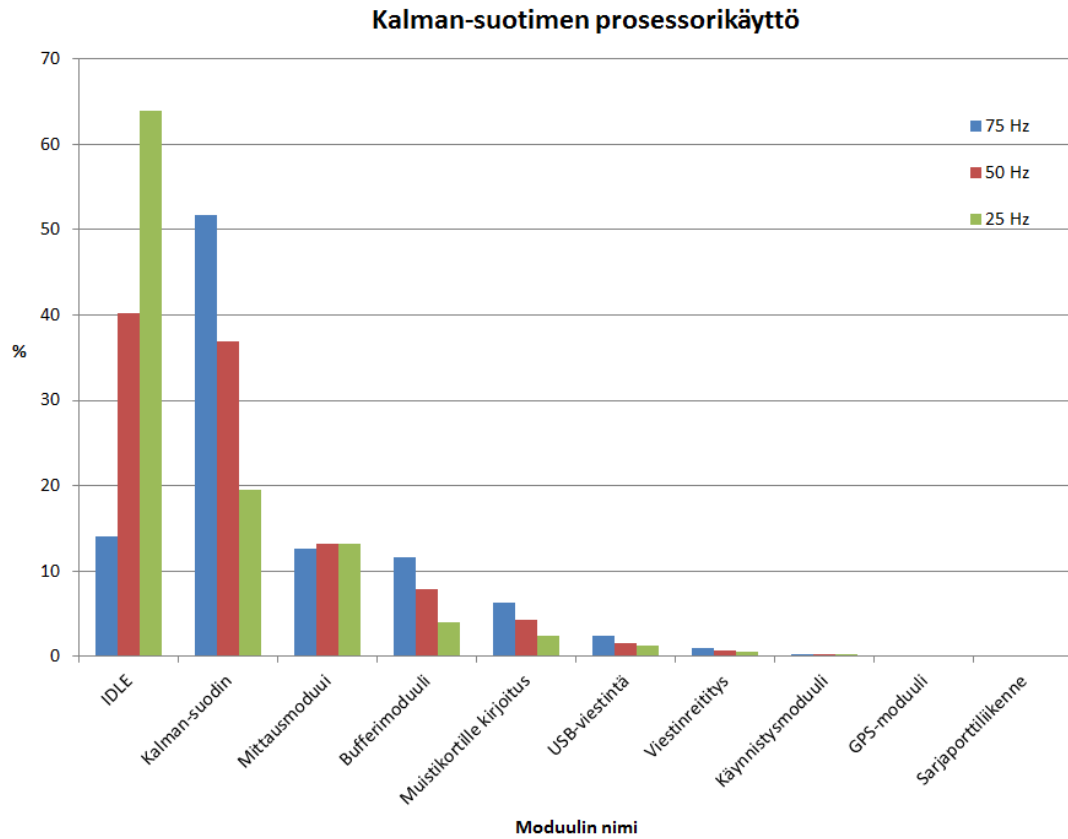


(a) Nuken päässä



(b) Nuken selässä

Kuva 5.7: Mittausyksikön sijoittelut nuken tiputusmittauksissa



Kuva 5.8: Kalman-suotimen käyttämä prosessoriaika

tima prosessoriaika kasvaa huomattavasti. Havaittu maksimipäivitysnopeus on noin 75 Hz, joka jättää vielä noin kymmenen prosenttia suorittimen vapaa-ajaksi. Tämä päivitysnopeus on riittävä navigointisovelluksiin, joten mittausyksikkö pystyy myös inertiaalinavigointiin.

6. JOHTOPÄÄTELMÄT

Työssä toteutettu mittausyksikkö on osoittautunut käytännölliseksi ja tehokkaaksi mittausvälineeksi, sillä laitteen pieni koko ja robusti kotelointi mahdollistavat käytön useissa erilaisissa mittaustilanteissa. Mittausyksikön käyttöliittymä on toteutettu työn yhteydessä tehdyn Android-sovelluksen kautta, joka mahdollistaa usean mittausyksikön samanaikaisen valvonnan sekä mittausten käynnistämisen tai lopettamisen. Mobiilisovellus yhdistettynä GPS-laitteen tarjoamaan aikasynkronointiin helpottaa käyttöä mittaustapahtuman aikana ja sen jälkeen.

Mittausyksiköiden toiminta on testattu useissa erilaisissa haastavissa mittaustilanteissa, jotka on kuvattu kappaleessa 5.2. Näistä mittauksista saatujen tulosten pohjalta on tämän työn ulkopuolella kehitetty ajotapaluokittelija, joka havaitsee erilaiset ajotilanteet moottoripyörän tapauksessa. Tämä luokittelija on toteutettu mittausyksikössä suoritettavaksi käyttäen apuna kappaleessa 4.2.6 kuvattua sovel-lusrajapintaa. Tämän luokittelijan toteutus on kuvattu lähteessä [21].

Kappaleessa 2 esitetyt tavoitteet on siis täytetty, sillä laite pystyy tuottamaan ja tallentamaan ajallisesti luotettavia ja kalibroituja mittauksia. Laite toimii siis inertiamittausyksikkönä, mutta kuten kappaleessa 5.2 on todettu, laitteessa on mahdollista myös suorittaa monimutkaisia käyttäjäalgoritmeja. Nämä käyttäjäalgoritmit mahdollistavat laitteen toiminnan myös inertianavigointiyksikkönä.

Suurimmat työssä koetut ongelmat liittyvät anturikomponenttien liittämiseen piirilevyille ja komponenttivalintoihin. Piirilevyn pienen koon saavuttamiseksi useat komponenteista ovat LGA- tai QFN-koteloisia, joten niiden liittäminen piirilevyille käsin on aikaavievää työtä. Tämä ongelma voidaan kuitenkin ohittaa komponenttien asettelulaitteella ja reflow-uunilla. Toinen käsinasetteluun liittyvä ongelma on antureiden lopullinen orientaatio, joka saattaa vaihdella mittausyksiköstä toiseen muutaman asteen verran. Tämä näkyy erilaisissa mittaustuloksissa eri yksiköiden välillä, mutta erojen vaikutusta on pyritty vähentämään kappaleessa 5 kuvatulla kalibroitimenetelmällä.

Komponenttivalintoihin liittyen suurimpana ongelmaehtana oli muistikorttistandardin riittämätön tutkiminen, sillä standardi sallii muistikortin viettää 500 ms viivetilassa lohkokirjoitusoperaation jälkeen. Tämän viiveen aikana muistikortti tyhjentää sisäisen muistilohkonsa ja kirjoittaa puskurinsa tähän tilaan. Valittu mikro-ohjain ei sisällä riittävästi muistia, jotta suurikaistaiselle kirjoitukselle pystytään

tekemään 500 ms puskuria. Ratkaisuna ongelmaan on valita mikro-ohjain, joka sisältää ulkoisen muistiväylän johon voidaan liittää ulkoinen SRAM- (Static Random Access Memory) tai SDRAM-piiri (Synchronous Dynamic Random Access Memory). Toinen komponenttivalintoihin liittyvä parannusehdotus on valita mikro-ohjain liukulukukyksiköllä, joka nopeuttaa laitteessa toteutettujen käyttäjäsovellusten suoritusta huomattavasti.

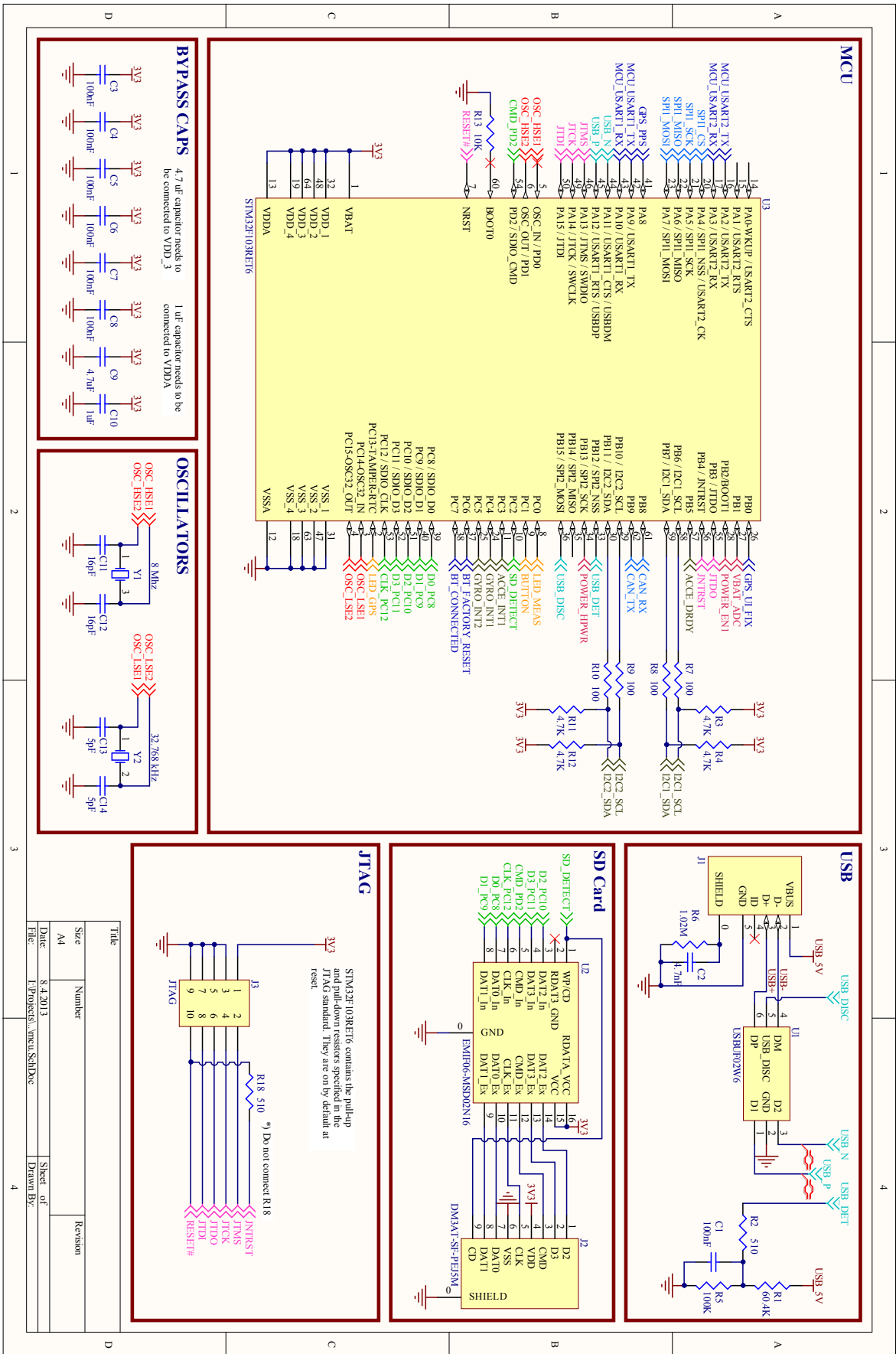
LÄHTEET

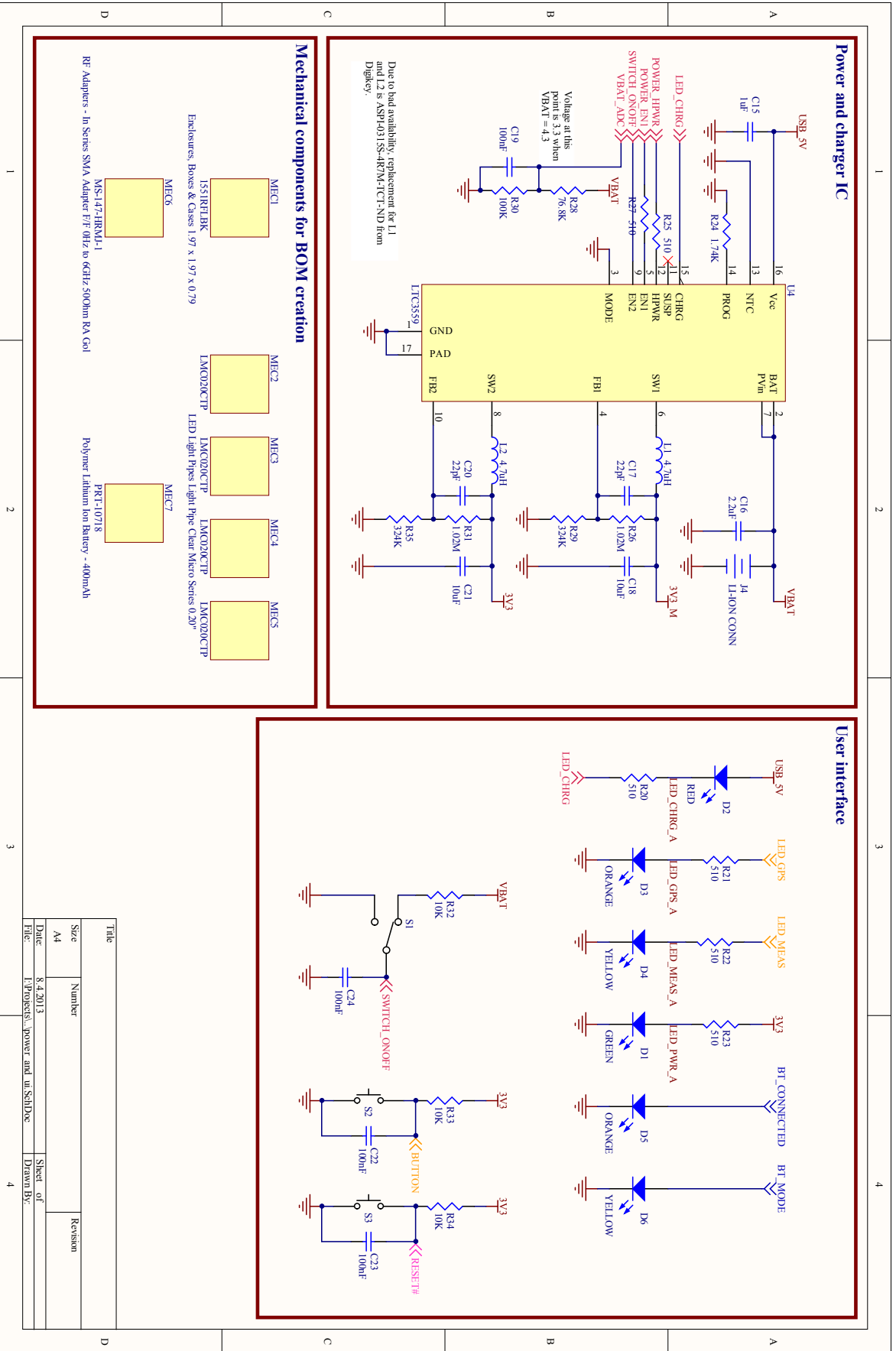
- [1] STEVAL-MKI062V2, iNEMO demonstration board based on MEMS devices and STM32F103RE. ST Microelectronics. 2010. [WWW]. [viitattu 25.5.2013] Saatavissa: http://www.st.com/st-web-ui/static/active/en/resource/technical/document/user_manual/CD00271225.pdf
- [2] HiKoB FOX. HiKoB. 2012. [WWW]. [viitattu 25.5.2013] Saatavissa: <http://www.hikob.com/hikob-fox>
- [3] Hikob Openlab [WWW]. [viitattu 25.5.2013] Saatavissa: <http://openlab.hikob.com/development-kit>
- [4] Xsens MTw. Xsens. 2013. [WWW]. [viitattu 25.5.2013] Saatavissa: <http://www.xsens.com/products/mtw-development-kit-lite/>
- [5] STM32F103RE ARM Cortex-M3 MCU with 512 Kbytes Flash, 72 MHz CPU. ST Microelectronics. 2011. [WWW]. [viitattu 25.5.2013] Saatavissa: <http://www.st.com/web/catalog/mmc/FM141/SC1169/SS1031/LN1565/PF164485>
- [6] LSM303DLHC 3D accelerometer and 3D magnetometer. ST Microelectronics. 2013. [WWW]. [viitattu 25.5.2013] Saatavissa: http://www.st.com/web/catalog/sense_power/FM89/SC1449/PF251940
- [7] L3GD20 3-axis digital gyroscope. ST Microelectronics. 2013. [WWW]. [viitattu 25.5.2013] Saatavissa: http://www.st.com/web/catalog/sense_power/FM89/SC1288/PF252443
- [8] LPS331AP MEMS pressure sensor. ST Microelectronics. 2012. [WWW]. [viitattu 25.5.2013] Saatavissa: http://www.st.com/web/catalog/sense_power/FM89/SC1316/PF251601
- [9] DM3 microSD Card Connectors. Hirose Electric Group. 2010 [WWW]. [viitattu 25.5.2013] Saatavissa: https://www.hirose.co.jp/cataloge_hp/e60900232.pdf
- [10] EMIF06-MSD02N166-line EMI filter and ESD protection for T-Flash and micro SD card interfaces. ST Microelectronics. 2008. [WWW]. [viitattu 25.5.2013] Saatavissa: http://www.st.com/web/catalog/sense_power/FM139/CL1432/SC1432/PF219457
- [11] UC530 GPS antenna module. Ublox. 2013. [WWW]. [viitattu 25.5.2013] Saatavissa: <http://www.u-blox.com/en/positioning-antennas/gnss-antenna-modules/previous-generations/uc530.html>

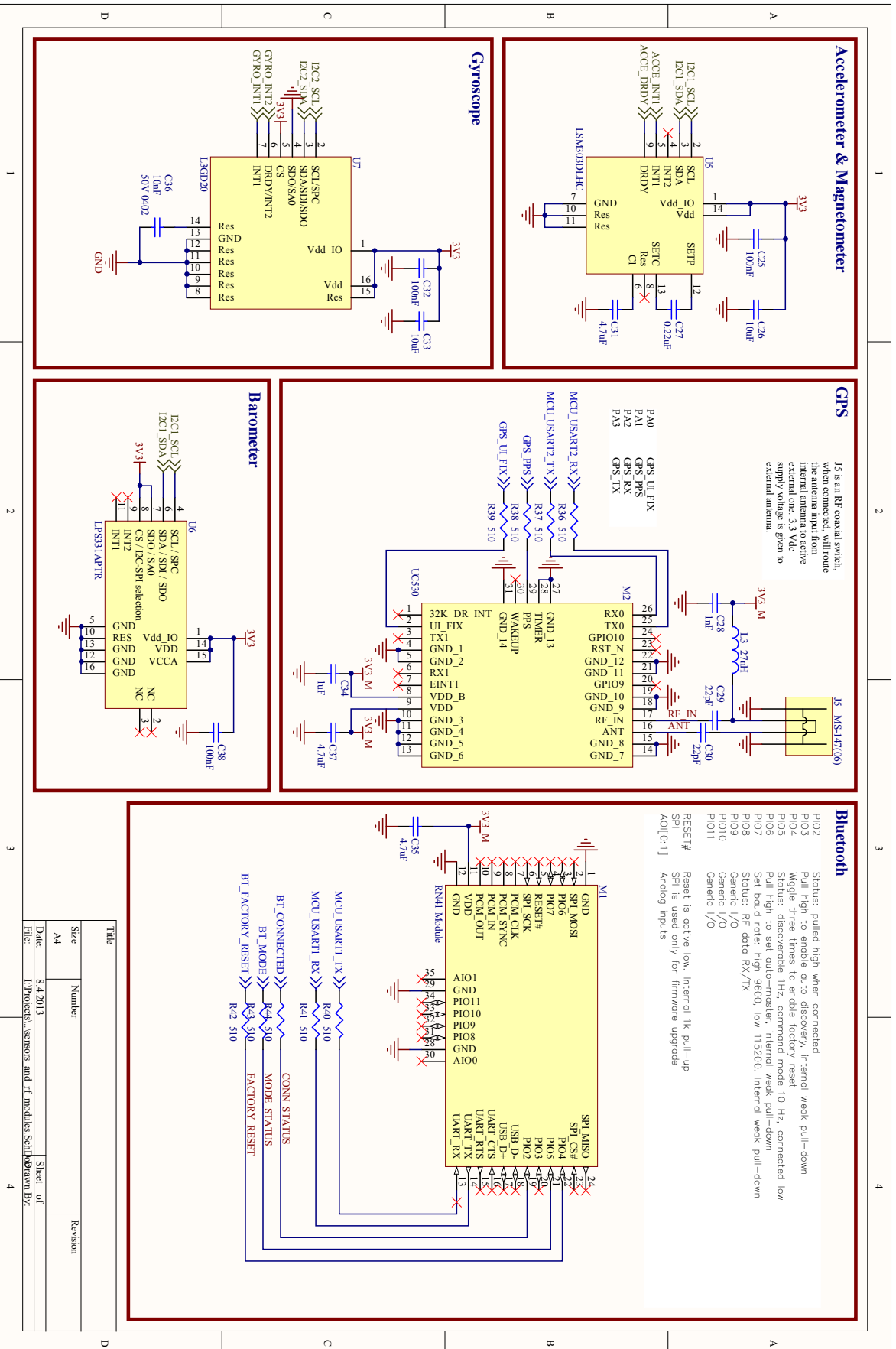
- [12] USBUFxxW6 EMI filter and line termination for USB upstream ports. ST Microelectronics. 2006. [WWW]. [viitattu 25.5.2013] Saatavissa: http://www.st.com/web/catalog/sense_power/FM139/CL1432/SC1434/PF65578
- [13] RN41/RN41N Class 1 Bluetooth Module. Microchip. 2013. [WWW]. [viitattu 25.5.2013] Saatavissa: <http://www.microchip.com/wwwproducts/Devices.aspx?product=RN41>
- [14] LTC3559 Linear USB Battery Charger with Dual Buck Regulators. Linear Technology. [WWW]. [viitattu 25.5.2013] Saatavissa: <http://www.linear.com/product/LTC3559>
- [15] GSP062530 Li-Polymer. Great Power Battery Co. 2012. [WWW]. [viitattu 25.5.2013] Saatavissa: <https://www.sparkfun.com/products/10718>
- [16] PH connector. JST. [WWW]. [viitattu 25.5.2013] Saatavissa: <http://www.jst-mfg.com/product/pdf/eng/ePH.pdf>
- [17] 1551FL Miniature Plastic Enclosures. Hammond Manufacturing. 2011. [WWW]. [viitattu 25.5.2013] Saatavissa: <http://www.hammondmfg.com/dwg9FL.htm>
- [18] VXM Stepping Motor Controller. Velmex. 2013. [WWW]. [viitattu 25.5.2013] Saatavissa: http://www.velmex.com/motor_control_vxm.html
- [19] B5990TS Motorized Rotary Table. Velmex. 2013. [WWW]. [viitattu 25.5.2013] Saatavissa: http://www.velmex.com/motor_rotary_tables.html
- [20] I. Frosio, F. Pedersini, ja N. Alberto Borghese. Autocalibration of MEMS Accelerometers. Instrumentation and Measurement, IEEE Transactions, Volume 58 Issue 6. 2009, s. 2034-2041
- [21] J. Parviainen, J. Collin, T. Pihlström, J. Takala, K. Hanski, A. Lumiaho, Automatic Crash Detection for Motor Cycles. Tampere 2013, Tampereen teknillinen yliopisto. Julkaisematon artikkeli.
- [22] Dale E. Schinstock, GPS-aided INS Solution for OpenPilot [WWW]. [viitattu 5.5.2014] Saatavissa: <http://wiki.openpilot.org/display/Doc/INSGPS+Algorithm>

A. LIITTEITÄ

A.1 Kytkenäkaavio

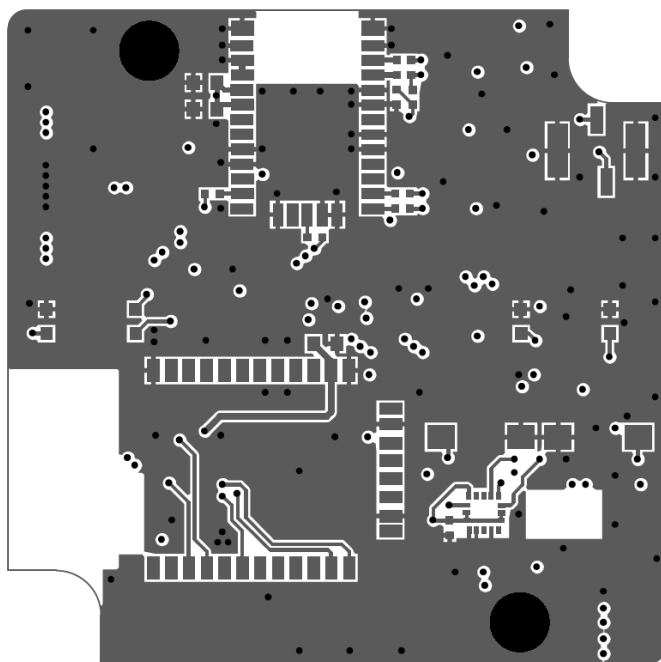




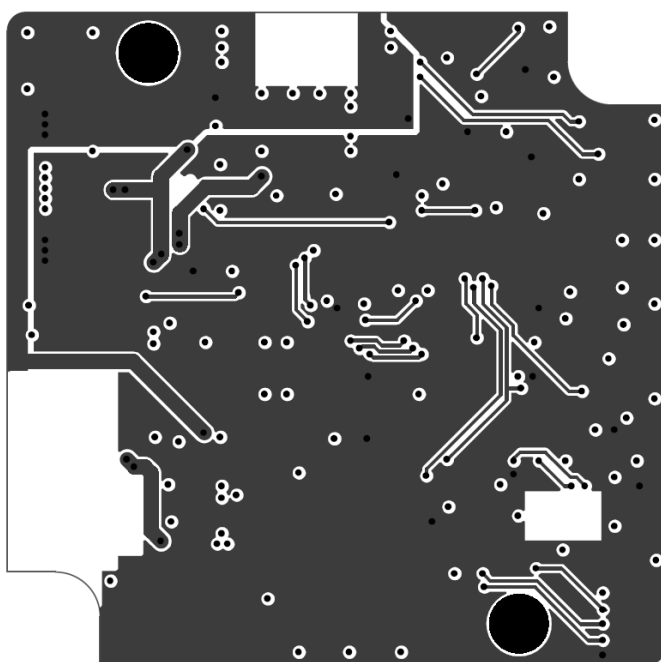


Title		Revision	
Size	A4	Number	
Date	8-4-2013	Sheet of	
File: E:\Projects\ Sensors and I2C modules\Sch\Drawn By:			

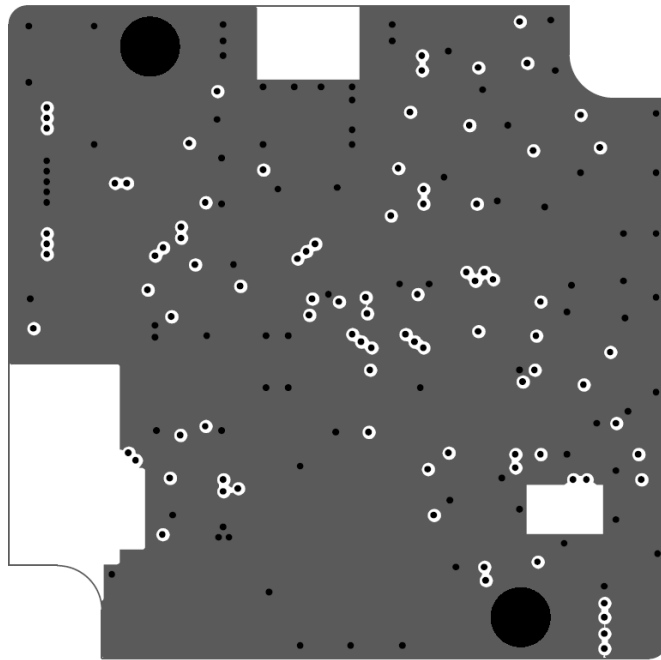
A.2 Osasijoittelukuvat ja kuparitasot



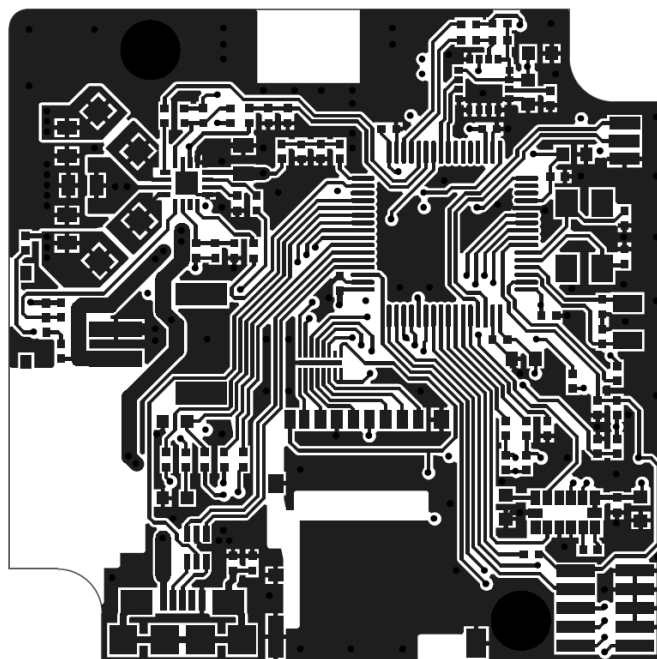
Kuva A.1: Piirilevyn yläkerros (reititys ja maa)



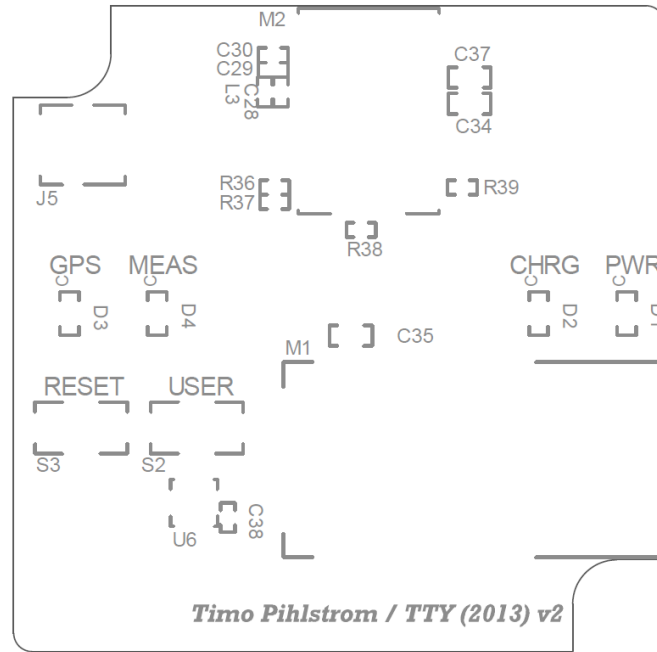
Kuva A.2: Piirilevyn välikerros (käyttöjännitteet ja reititys)



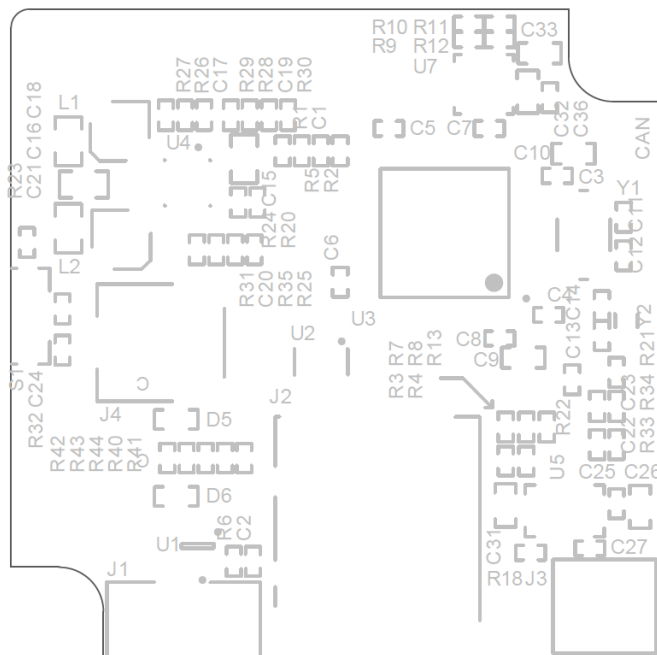
Kuva A.3: Piirilevyn välikerros (maa)



Kuva A.4: Piirilevyn pohjakerros (reititys)



Kuva A.5: Komponenttien sijoitus yläpuolella



Kuva A.6: Komponenttien sijoitus alapuolella

A.3 Komponenttilistaus

Designator	Description	Quantity	Supplier 1	Supplier Part Number 1	Supplier Stock 1
C1, C3, C4, C5, C6, C7, C8, C19, C22, C23, C24, C25, C38	CAP CER 0.1UF 16V 10% X5R 0402	13	Digi-Key	587-1226-1-ND	323916
C10, C34	CAP CER 1UF 16V 10% X5R 0603	2	Digi-Key	445-1416-1-ND	466290
C11, C12	CAP CER 16PF 50V 5% NPO 0402	2	Digi-Key	399-6171-1-ND	23599
C13, C14	CAP CER 5PF 50V NPO 0402	2	Digi-Key	445-4881-1-ND	46638
C15	CAP CER 1UF 25V 10% X5R 0805	1	Digi-Key	587-1291-1-ND	94432
C16	CAP CER 2.2UF 25V 10% X5R 0805	1	Digi-Key	587-1292-1-ND	194165
C17, C20	CAP CER 22PF 50V 5% NPO 0402	2	Digi-Key	587-1203-1-ND	208276
C18, C21	CAP CER 10UF 25V 10% X5R 0805	2	Digi-Key	587-2985-6-ND	336238
C2	CAP CER 4700PF 50V 10% X7R 0402	1	Digi-Key	587-2237-1-ND	20627
C26, C33	CAP CER 10UF 10V 10% X5R 0603	2	Digi-Key	445-7486-1-ND	438403
C27	CAP CER 0.22UF 10V 10% X5R 0402	1	Digi-Key	587-1228-1-ND	433997
C28	CAP CER 1000PF 50V 10% X7R 0402	1	Digi-Key	587-1220-1-ND	111510
C29, C30	CAP CER 22PF 50V 5% NPO 0402	2	Digi-Key	399-6174-1-ND	25327
C32	CAP CER 0.1UF 25V 10% X7R 0603	1	Digi-Key	445-1314-1-ND	1853117
C36	CAP CER 10000PF 50V 10% X7R 0402	1	Digi-Key	587-2238-1-ND	330919
C9, C31, C35, C37	CAP CER 4.7UF 16V 10% X5R 0603	4	Digi-Key	445-7478-1-ND	235760
J2	CONN MICRO SD R/A PUSH-PUSH SMD	1	Digi-Key	HR1964CT-ND	21283
J4	CONN HEADER PH SIDE 2POS 2MM SMD	1	Digi-Key	455-1749-1-ND	71181
L3	INDUCTOR MULTILAYER 27NH 0402	1	Digi-Key	535-11508-1-ND	23728
R1	RES 60.4K OHM 1/16W 1% 0402 SMD	1	Digi-Key	RMCF0402FT60K4CT-ND	22376
R13, R32, R33, R34	RES 10K OHM 1/16W 5% 0402 SMD	4	Digi-Key	RHM10KCECT-ND	63396
R2, R18, R20, R21, R22, R23, R25, R27, R36, R37, R38, R39, R40, R41, R42, R43, R44	RES 510 OHM 1/16W 5% 0402 SMD	17	Digi-Key	RHM510JCT-ND	9670
R24	RES 1.74K OHM 1/16W 1% 0402 SMD	1	Digi-Key	541-1.74KJCT-ND	79169
R28	RES TF 76.8K OHM 1% 1/16W 0402	1	Digi-Key	RMCF0402FT76K8CT-ND	1812
R29, R35	RES 324K OHM 1/16W 1% 0402 SMD	2	Digi-Key	541-324KJCT-ND	56886
R3, R4, R11, R12	RES 4.7K OHM 1/16W 5% 0402 SMD	4	Digi-Key	RHM4.7KCECT-ND	28964
R5, R30	RES 100K OHM 1/16W 1% 0402 SMD	2	Digi-Key	RHM100KBHCT-ND	13011
R6, R26, R31	RES 1.02M OHM 1/16W 1% 0402 SMD	3	Digi-Key	541-1.02MJCT-ND	40931
R7, R8, R9, R10	RES 100 OHM 1/16W 5% 0402 SMD	4	Digi-Key	RHM100CECT-ND	5335
L2	IC EM FILTER ESD 16-MICRO QFN	1	Digi-Key	497-8751-1-ND	3828
L3	MCU ARM 512KB FLASH MEM 64-LOFP	1	Digi-Key	497-6444-ND	1340
U4	IC USB CHARGER 16-QFN	1	Digi-Key	LTC3559EUD#PBF-ND	663
U6	IC PRESSURE SENSOR PIEZO 16HCLGA	1	Digi-Key	497-12927-1-ND	1593
D1	Standard LED - SMD GREEN WATER CLEAR	1	Mouser	604-APT1608SGC	38233
D2	Standard LED - SMD HI EFF RED WTR CLR	1	Mouser	604-APT1608EC	36850
D3, D5	Standard LED - SMD ORANGE WATER CLEAR	2	Mouser	604-APT1608SECK	1754
D4, D6	Standard LED - SMD YELLOW WATER CLEAR	2	Mouser	604-APT1608YC	204
J1	USB Connectors MICRO B RECEPT RA SMT BTMMNT	1	Mouser	798-ZX62-B-SPA11	3937
J3	Headers & Wire Housings 545 DIL PIN HDR SMT Au/Sn	1	Mouser	855-MS0-3600542	4757
J5	RF Connectors REC COAX SWITCHING SMT	1	Mouser	798-MS14706	2174
L1, L2	Fixed Inductors 4.7uH 900mA	2	Mouser	851-CDR#BD16NP4R7NC	4230
M1	MODULE BLUETOOTH W/ANT CLASS1	1	Mouser	765-RN-41	830
M2	GPS Modules Low Pwr GPS Module w/Int Antenna	1	Mouser	916-UC530	295
MEC1	Enclosures, Boxes & Cases 1.97 x 1.97 x 0.79	1	Mouser	546-1551RFLBK	1586
MEC2, MEC3, MEC4, MEC5	LED Light Pipes Light Pipe Clear Micro Series 0.20"	4	Mouser	593-LMC020CTP	6429
MEC6	RF Adapters - in Series SMA Adapter P/F 0Hz to 6GHz 50Ohm RA Gal	1	Mouser	798-MS-147-HRMU-1	17
S1	Slide Switches slide switch without location lug	1	Mouser	688-SSAJ120100	4360
S2, S3	Tactile & Jog Switches 6.0x3.5x5mm 260gF	2	Mouser	688-SKOMAR	7120
U1	EMI Filters EMI FILTER IPAD	1	Mouser	511-USBUF02W6	5119
U5	Board Mount Accelerometers E-compass 3D accel & 3D magnetometer mod.	1	Mouser	511-LSM603DLHC	5476
U7	Gyroscopes MEMS 3-Axis GYRO 16-Bit Data 1.8V	1	Mouser	511-L3GD20	2608
Y1	CRYSTAL 8.000 MHz 18PF SMD	1	Mouser	815-ABMM2-8-EZT	3990
Y2	CRYSTAL 32.768KHz 7PF SMD	1	Mouser	815-ABS07-32.768K7T	9517
MEC7	Polymer Lithium Ion Battery - 400mAh	1	Sparkfun	FRT-10718	